

銀河中心ブラックホールの合体形成モデルと重力波観測

真貝寿明 (大阪工大)

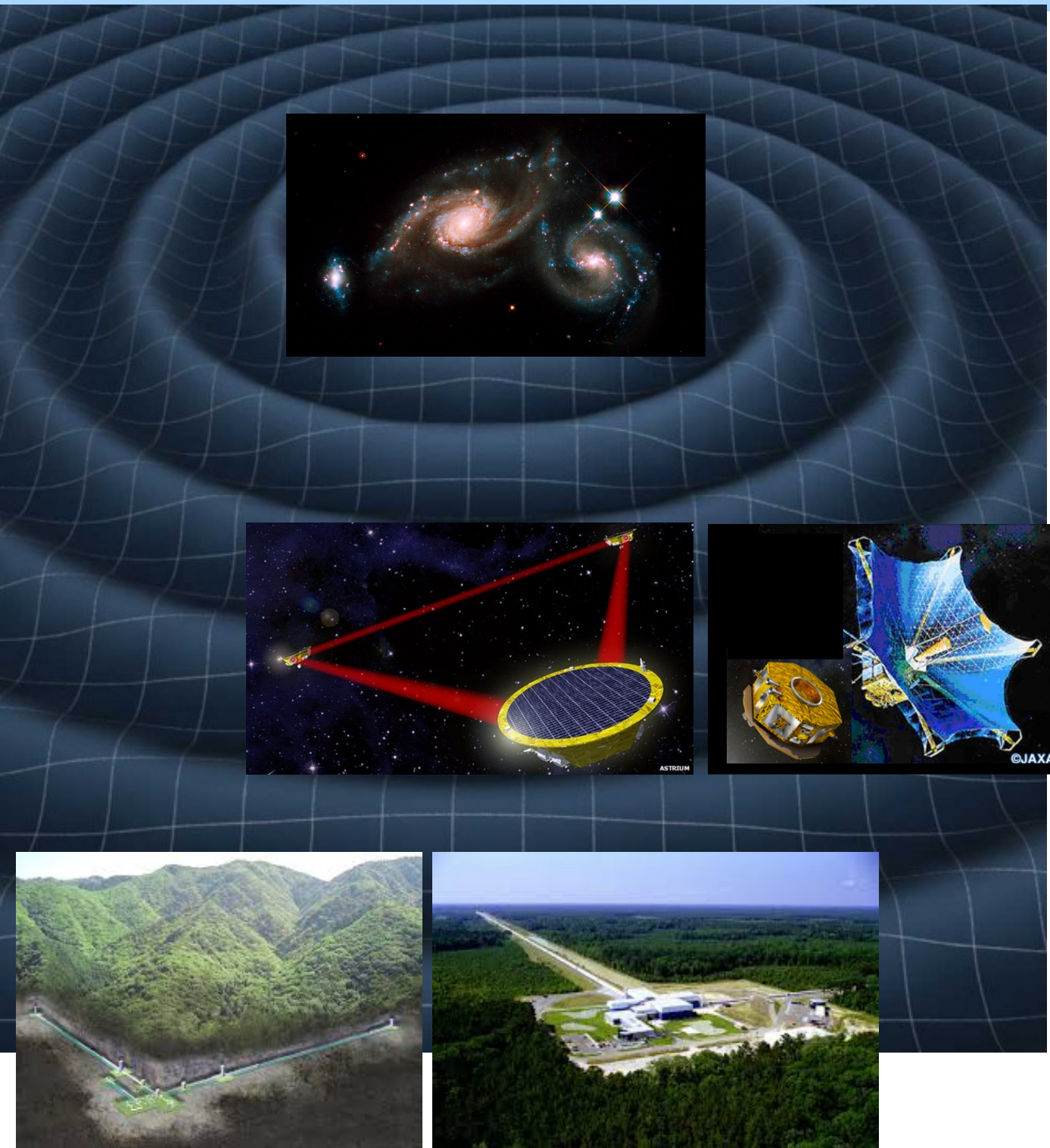


<http://www.oit.ac.jp/is/~shinkai>

SMBH起源問題は、重力波観測によって決着されると考えられている。

宇宙空間では、地上では観測できない低周波の重力波観測 ($>10^3 M_\odot$) が可能。

SMBHがIMBH経由で合体形成されたとするモデルで、LISA, DECIGO, INOなどでのイベントレートを計算した。



銀河中心ブラックホールの合体形成モデルと重力波観測

真貝寿明 (大阪工大)



Interplanetary Network of Optical Lattice Clocks

光格子時計を宇宙空間に3機配置して、
ドップラー追跡法による重力波検出

岩波「科学」2017-12
Int. J. Mod. Phys. submitted

戎崎俊一 (理研)

香取秀俊 (東京大/理研)

牧野淳一郎 (神戸大/理研)

野田篤司 (JAXA)

真貝寿明 (大阪工大)

玉川徹 (理研)



<http://www.oit.ac.jp/is/~shinkai>

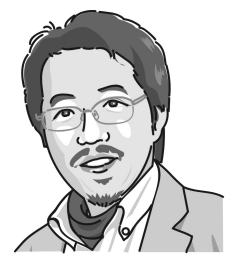
SMBH起源問題は、重力波観測によって決着されると考えられている。

宇宙空間では、地上では観測できない低周波の重力波観測 ($> 10^3 M_\odot$) が可能。

SMBHがIMBH経由で合体形成されたとするモデルで、LISA, DECIGO, **INO**などでのイベントトレートを計算した。

銀河中心ブラックホールの合体形成モデルと重力波観測

真貝寿明 (大阪工大)



<http://www.oit.ac.jp/~shinkai>

Interplanetary Network of Optical Lattice Clocks

光格子時計を宇宙空間に3機配置して、
ドップラー追跡法による重力波検出

岩波「科学」2017-12
Int. J. Mod. Phys. submitted

戎崎俊一 (理研)

香取秀俊 (東京大/理研)

牧野淳一郎 (神戸大/理研)

野田篤司 (JAXA)

真貝寿明 (大阪工大)

玉川徹 (理研)



●時計遺伝子をめぐる激論
●生物時計の分子メカニズム研究の展開
●日本における学界と立法府の新たな回路のために
●協力をよみとるチノヒジ
●腫瘍学教育の理解の上で議論を

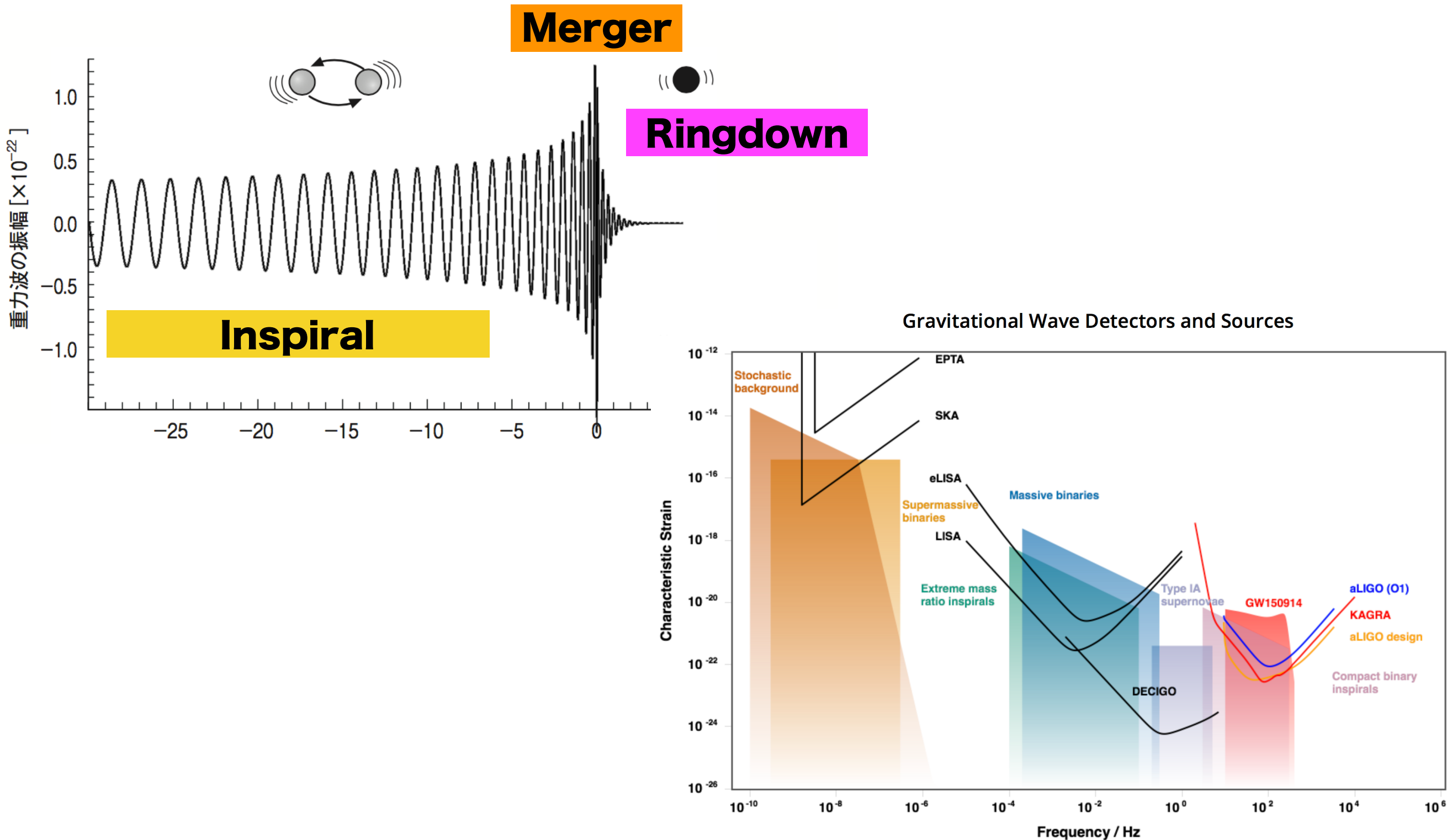
岩波書店



伊能忠敬
(1745-1818)

SMBHがIMBH経由で合体形成されたとするモデルで, LISA, DECIGO, **INO**などでのイベントレートを計算した.

1. Introduction

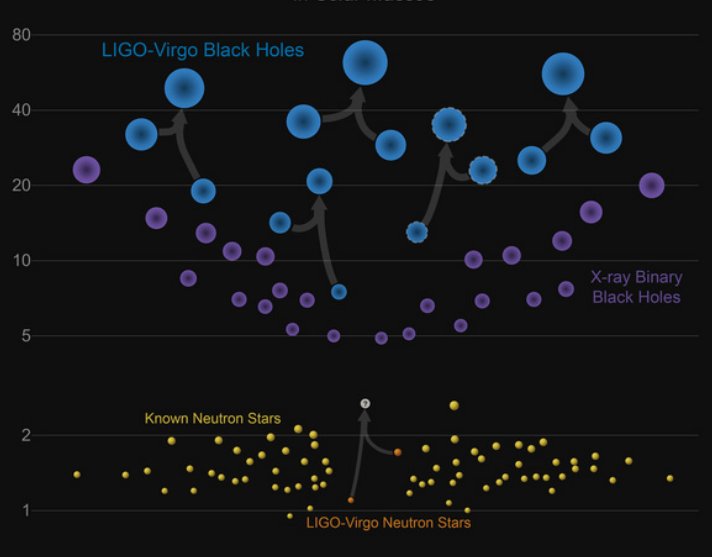


<http://rhcole.com/apps/GWplotter/>

1. Introduction

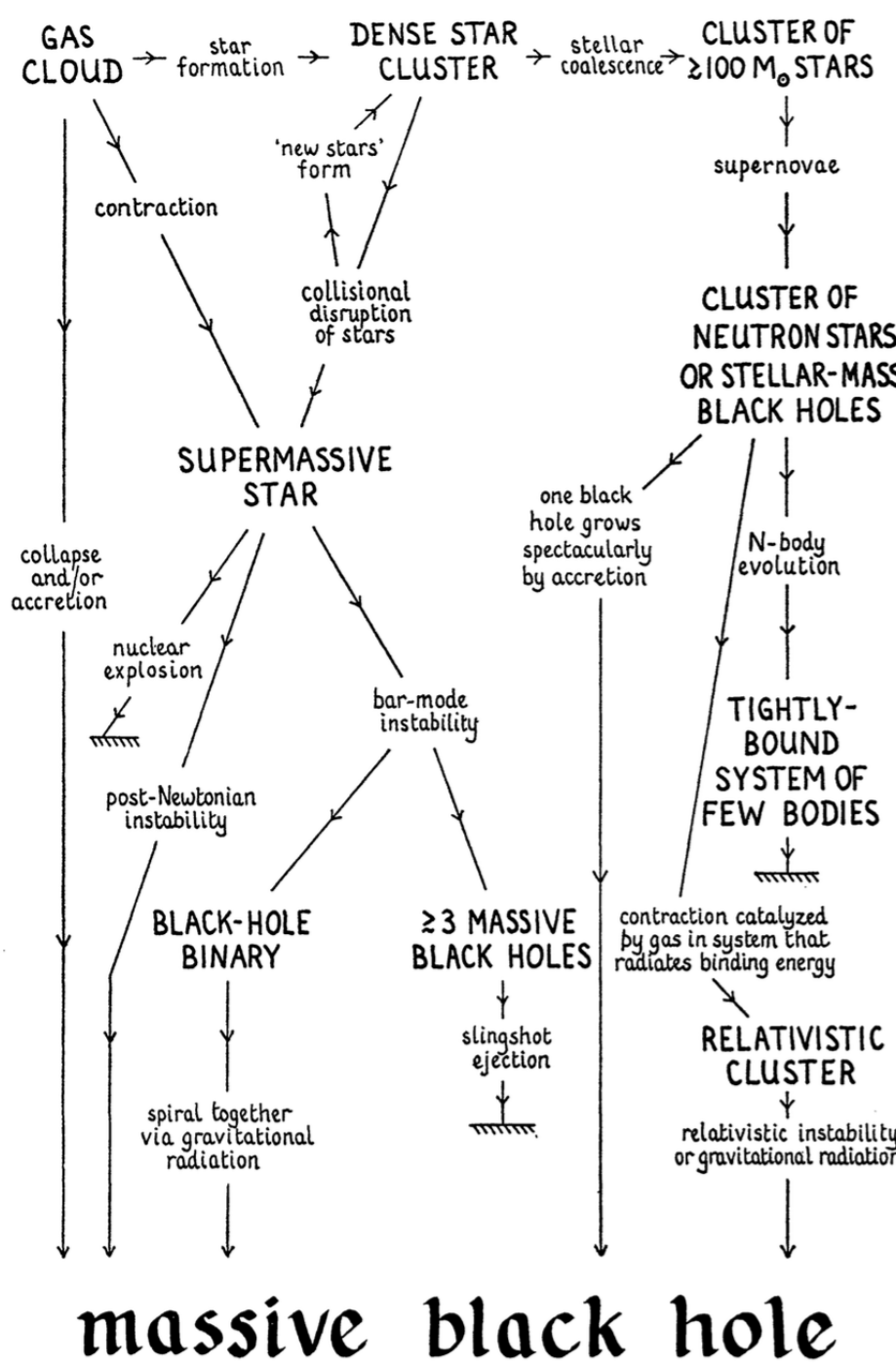
List of Detected GW events

	ref.	M1+M2=Mf, Mdiff/Mtotal	spin a_final	Mpc z	SNR	deg^2
GW150914	PRL116, 061102 (2016/2/11)	36.2+29.1=62.3+3.0 4.59%	0.68	410Mpc 0.09	23.7	600
LVT151012	(2016/2/11)	23+13=35+1.5 2.78%	0.66	1000Mpc 0.20	9.7	
GW151226	PRL116, 241103 (2016/6/15)	14.2+7.5=20.8+0.9 4.15%	0.74	440Mpc 0.09	13.0	850
GW170104	PRL118, 221101 (2017/6/1)	31.2+19.4=48.7+1.9 3.75%	0.64	880Mpc 0.18	13	1300
GW170608	ApJ 851, L35 (2017/12/18)	12+7=18.0+1.0 5.2%	0.69	340Mpc 0.07	13	520
GW170814	PRL119, 141101 (2017/10/6)	30.5+25.3=53.2+2.6 4.66%	0.70	540Mpc 0.11	18	60
GW170817	PRL119, 161101 (2017/10/16)	1.36~1.60 + 1.17~1.36 = 2.74 + ?	?	40Mpc	32.4	28

Masses in the Stellar Graveyard
in Solar Masses

<https://www.ligo.caltech.edu/image/ligo20171016a>

1. Introduction



Rees, M.J. 1978. Observatory 98: 210

Halo

Massive Stars

Globular Cluster

Galaxy

Gas Cloud

$$\exists 60M_{\odot}$$

BHs

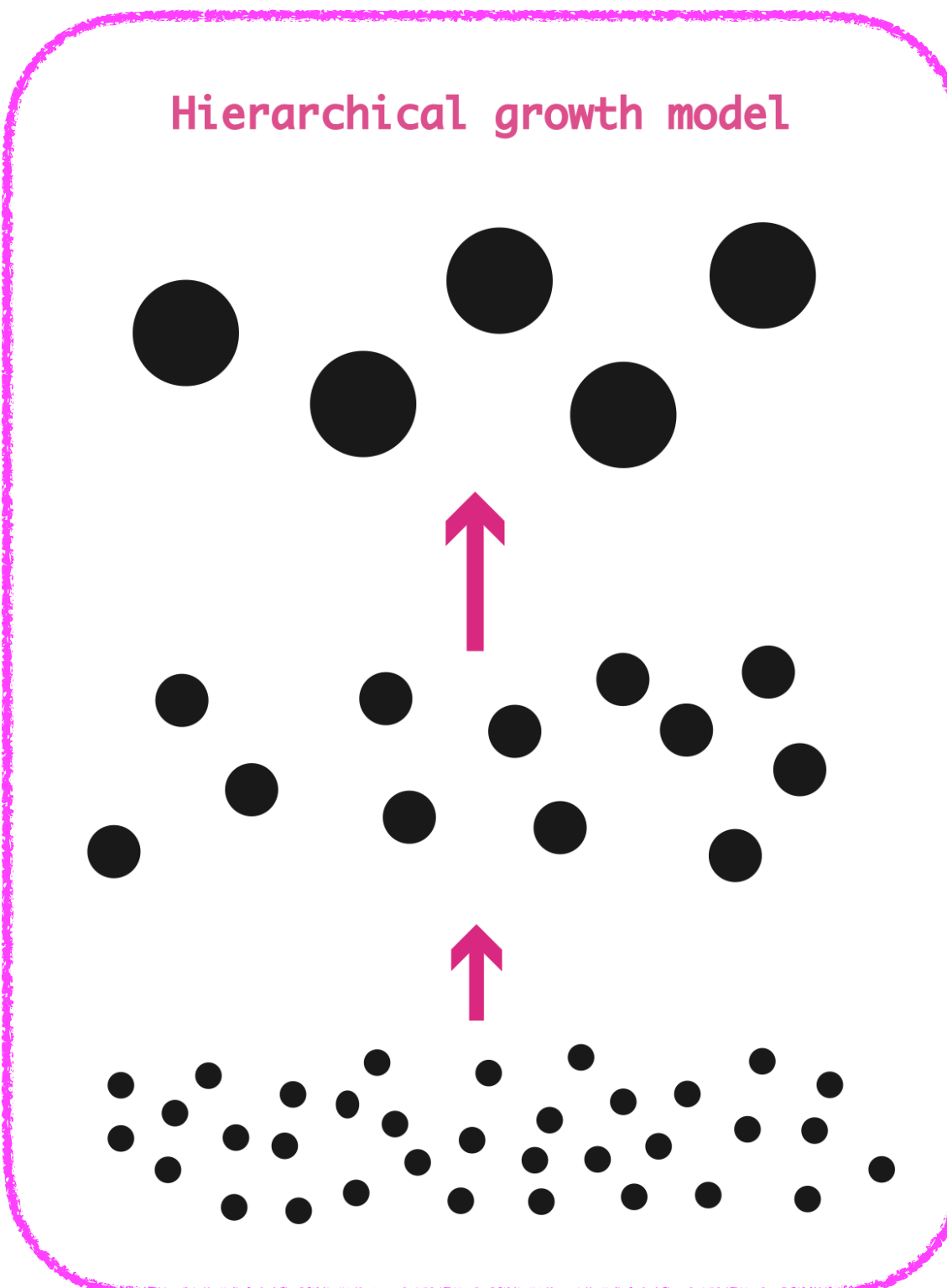
$$10^2 - 10^4 M_{\odot}$$

IMBHs

$$\exists 10^6 M_{\odot}$$

Ebisuzaki +, ApJ, 562, L19 (2001)

1. Introduction



Hierarchical growth model

銀河にはいくつBHがあるのか?
宇宙にはいくつ銀河があるのか?

宇宙にBH合体はいくつ
生じるか

我々は1年間にいくつ観測
できるか

重力波で観測可能な距離 ?
ground-base / space

宇宙モデル?
BH spin? Signal-to-Noise?

2. Previous Works:

THE ASTROPHYSICAL JOURNAL, 835:276 (8pp), 2017 February 1
 © 2017. The American Astronomical Society. All rights reserved.

doi:10.3847/1538-4357/835/2/276



Gravitational Waves from Merging Intermediate-mass Black Holes. II. Event Rates at Ground-based Detectors

Hisao-aki Shinkai¹, Nobuyuki Kanda², and Toshikazu Ebisuzaki³

★1つの銀河内のBH合体数の見積もり

巨大分子雲質量関数

$$\text{分子雲成長の最大核 } M_{c,\max} = 0.20M_c^{0.76}$$

銀河SMBHと銀河質量関係

$$\begin{aligned} M_{\text{SMBH}} &= 2 \times 10^{-4} M_{\text{galaxy}} \\ &= 10^{-3} M_{\text{bulge}} \end{aligned}$$

等質量BHのヒエラルキー合体

★宇宙全体の銀河分布の見積もり

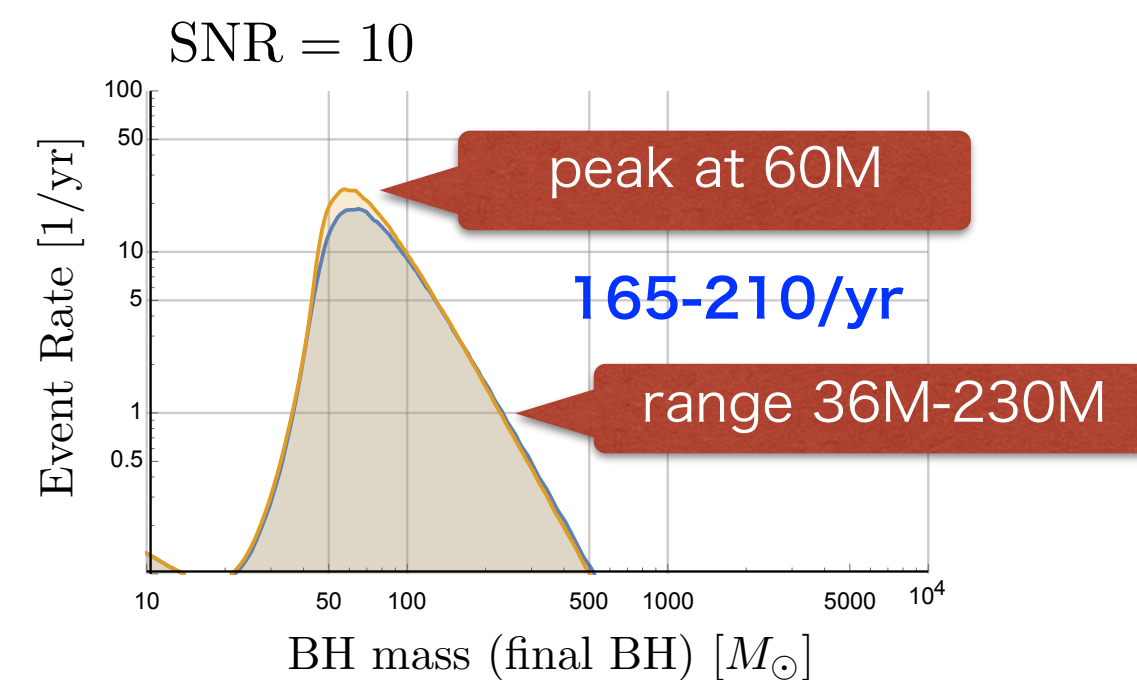
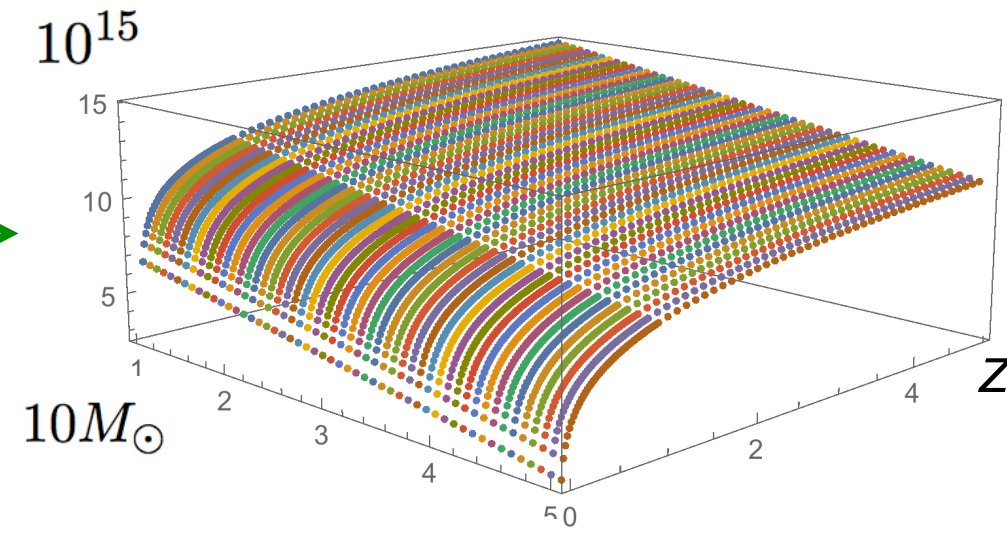
ハロー-モデルによる銀河質量分布

星形成率の時間進化

★標準宇宙膨張モデル

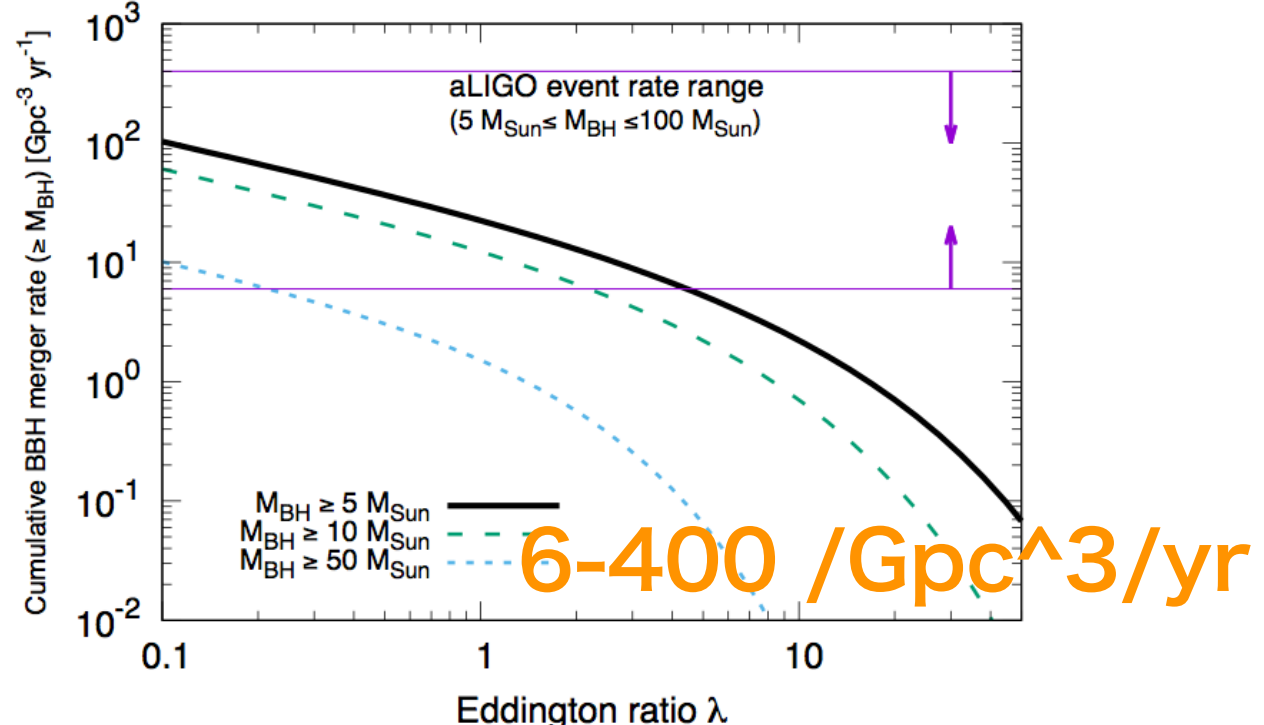
★BH合体のリングダウンモード

★第2世代地上重力波干渉計 KAGRA

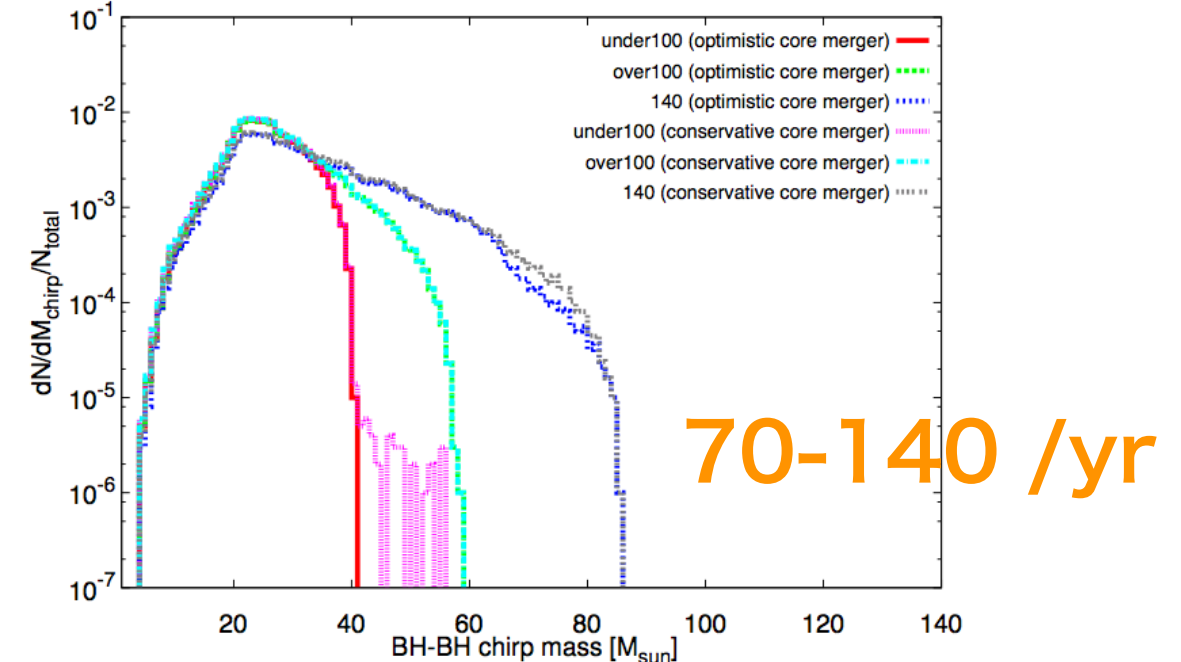


Event Rates at bKAGRA/aLIGO

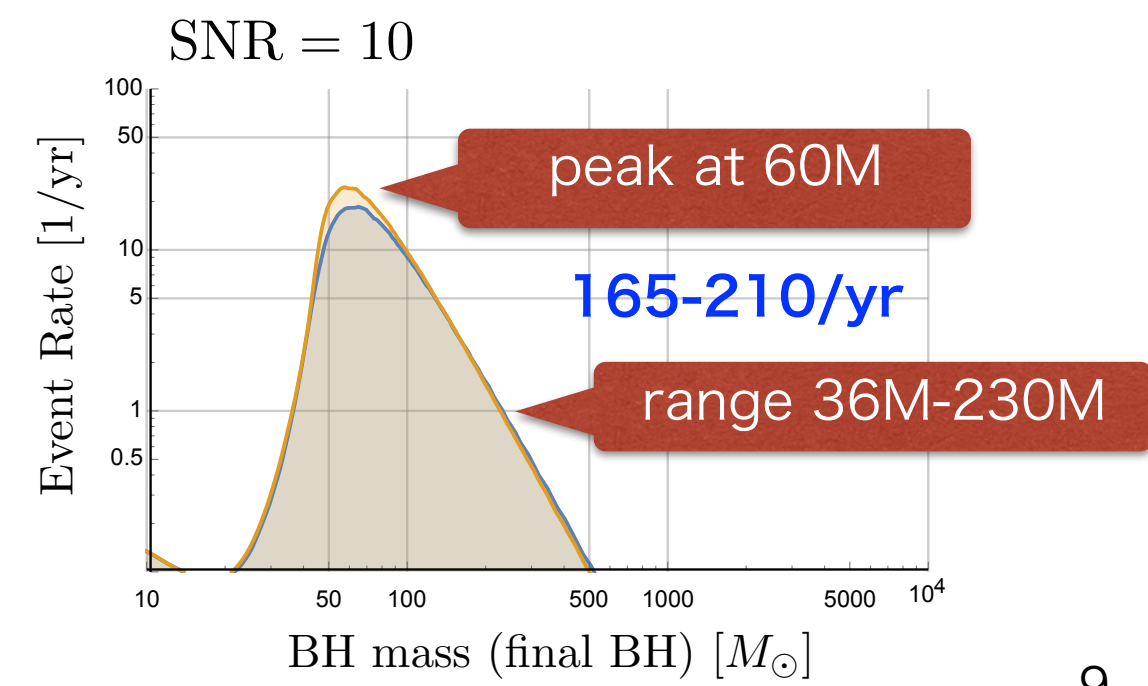
Inoue+ MNRAS461(16)4329



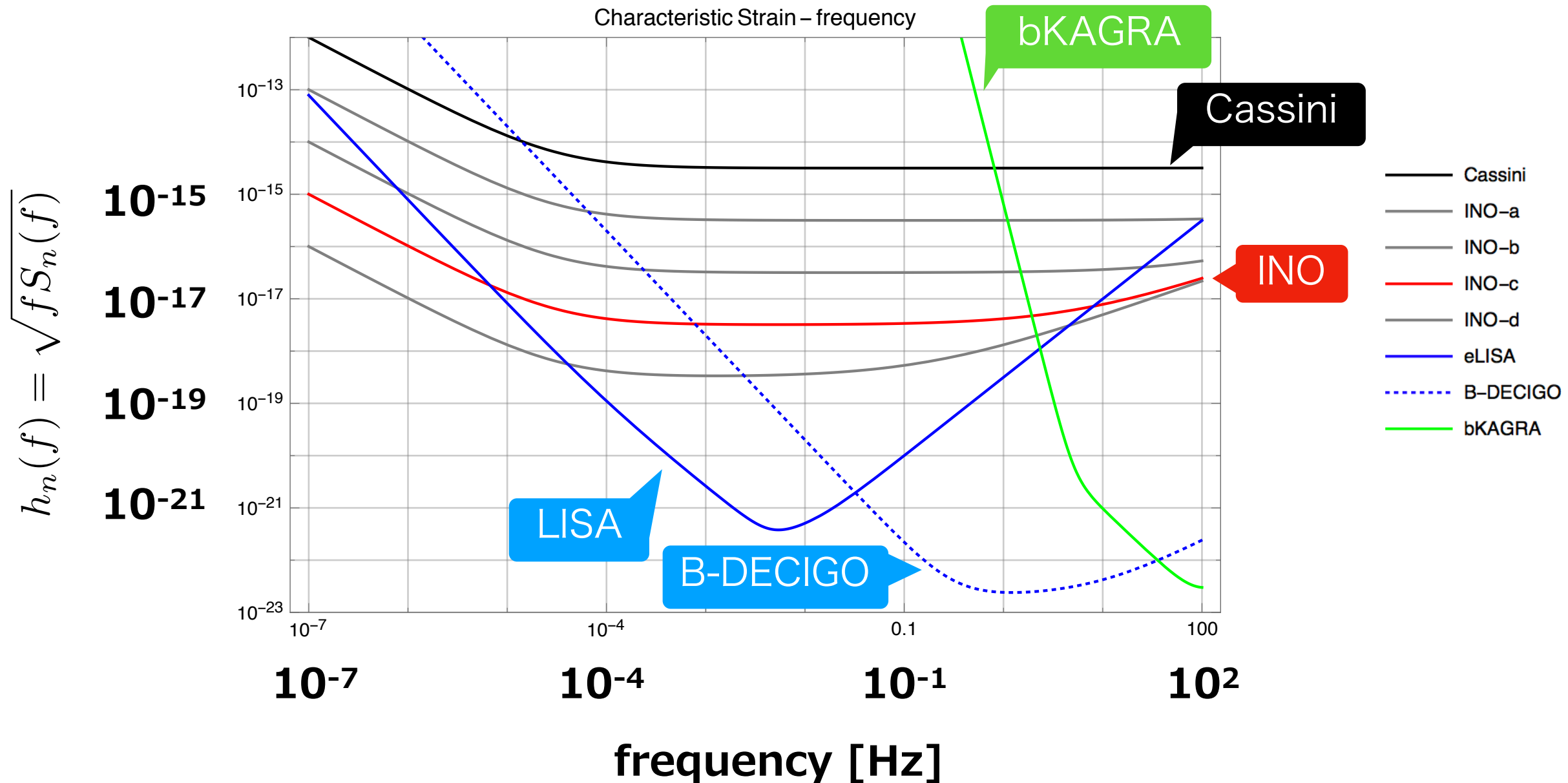
Kinugawa+ MNRAS456(15)1093



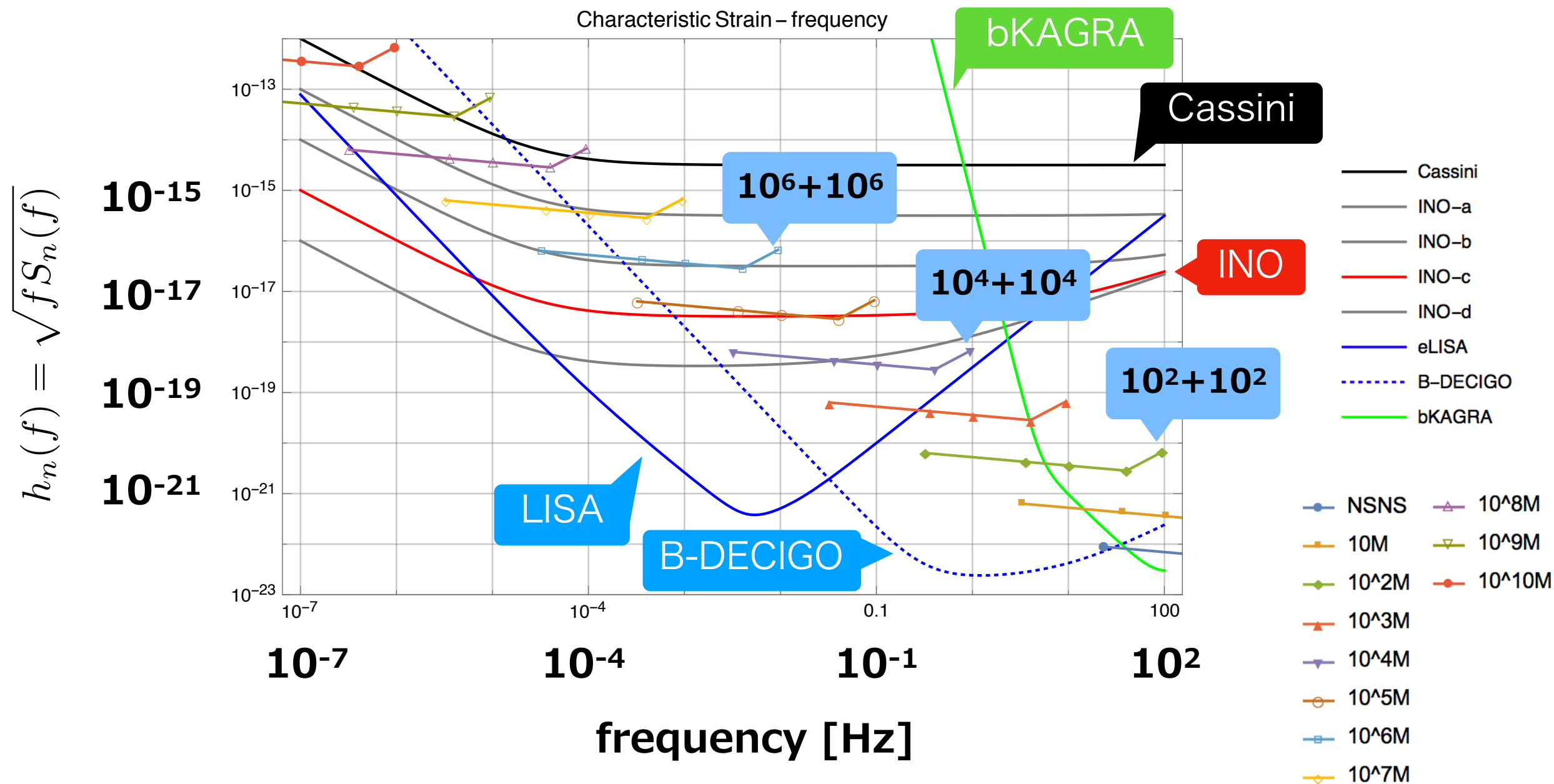
Mass distribution	PyCBC	GstLAL	Combined	$R/(\text{Gpc}^{-3} \text{ yr}^{-1})$
Event based				
GW150914	$3.2^{+8.3}_{-2.7}$	$3.6^{+9.1}_{-3.0}$	$3.4^{+8.8}_{-2.8}$	
LVT151012	$9.2^{+30.3}_{-8.5}$	$9.2^{+31.4}_{-8.5}$	$9.1^{+31.0}_{-8.5}$	
GW151226	35^{+92}_{-29}	37^{+94}_{-31}	36^{+95}_{-30}	
All	53^{+100}_{-40}	56^{+105}_{-42}	55^{+103}_{-41}	
Astrophysical				
Flat in log mass	31^{+43}_{-21}	29^{+43}_{-21}	31^{+42}_{-21}	
Power law (-2.35)	100^{+136}_{-69}	94^{+137}_{-66}	97^{+135}_{-67}	



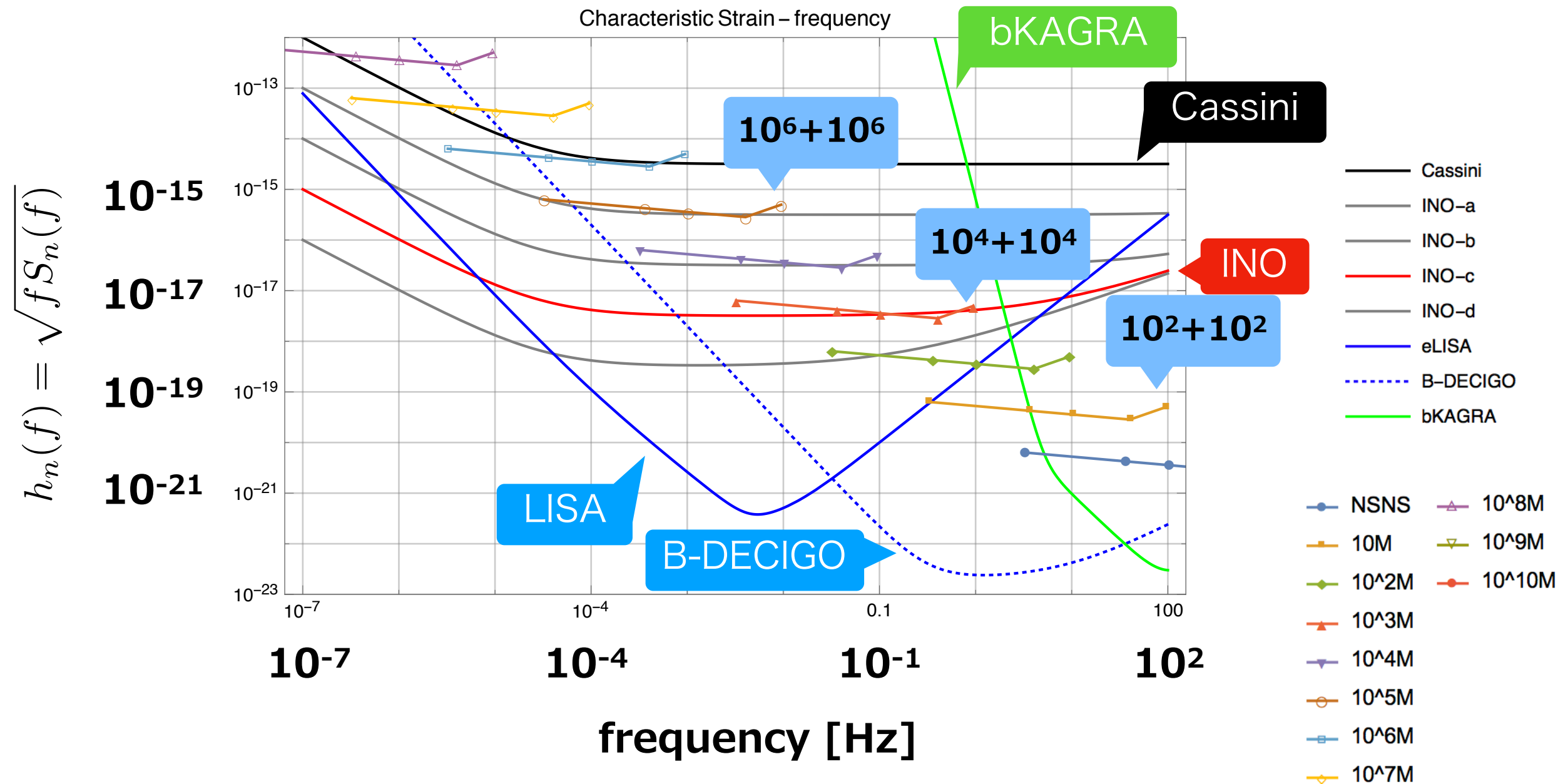
3. 重力波の検出計画と感度曲線



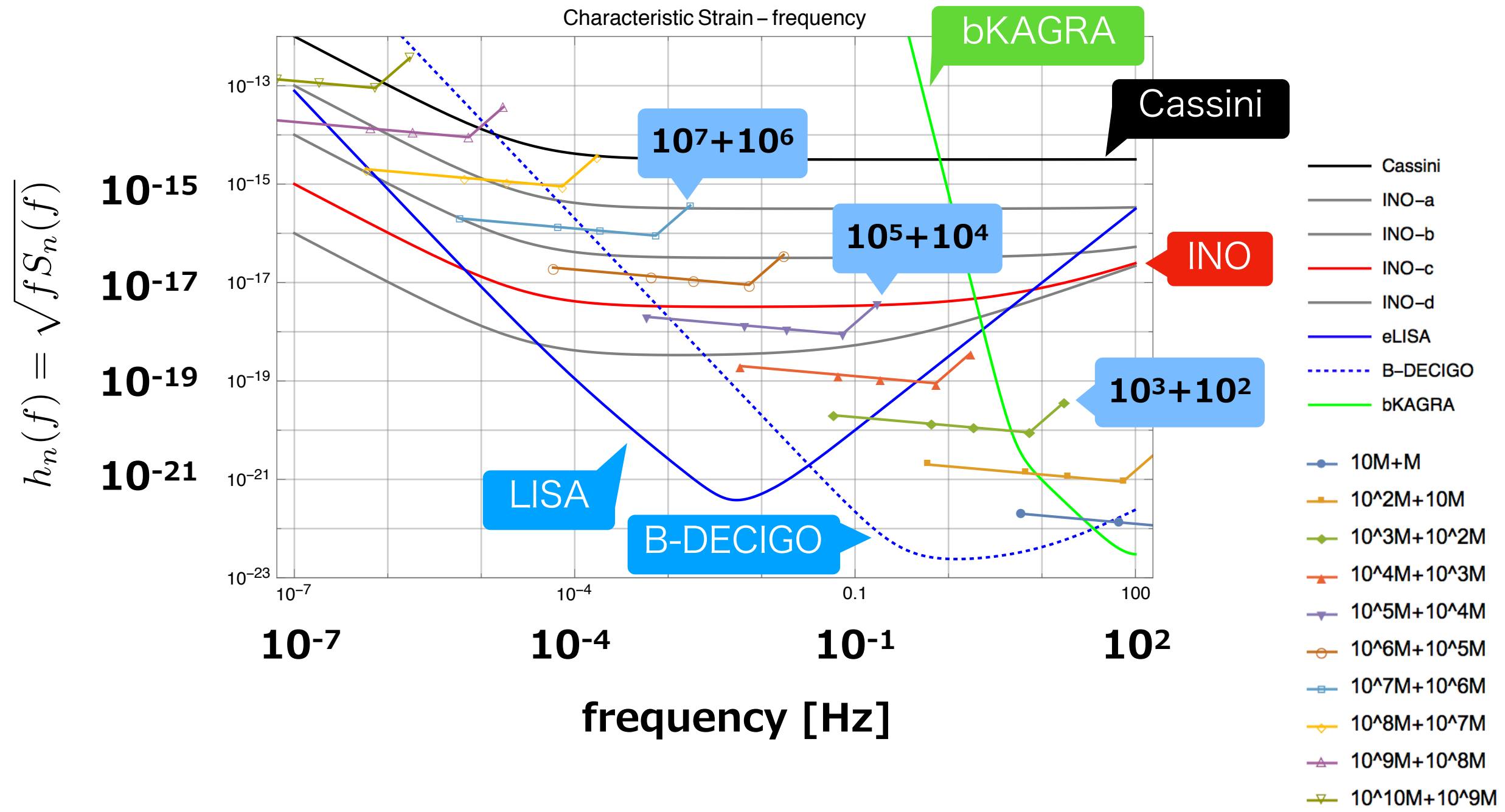
3. 重力波の検出計画と感度曲線 + 等質量BH合体@ 1 Gpc



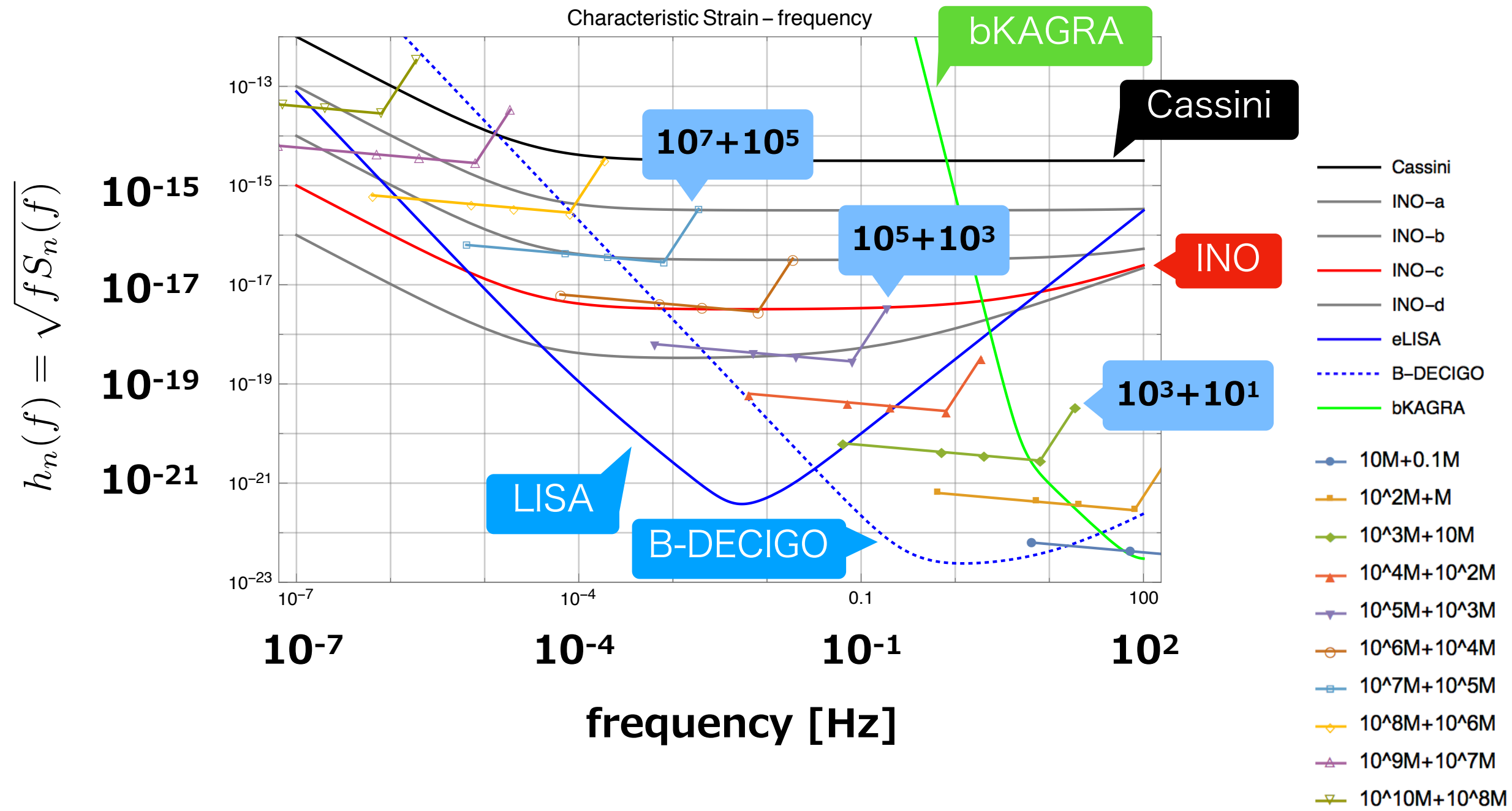
3. 重力波の検出計画と感度曲線 + 等質量BH合体@ 100 Mpc



3. 重力波の検出計画と感度曲線 + 質量比10のBH合体@ 1 Gpc



3. 重力波の検出計画と感度曲線 + 質量比100のBH合体@ 1 Gpc



4. 今回のモデル

★1つの銀河内のBH合体数の見積もり

巨大分子雲質量関数

分子雲成長の最大核 $M_{c,\max} = 0.20M_c^{0.76}$

銀河SMBHと銀河質量関係

$$\begin{aligned} M_{\text{SMBH}} &= 2 \times 10^{-4} M_{\text{galaxy}} \\ &= 10^{-3} M_{\text{bulge}} \end{aligned}$$

等質量BHのヒエラルキー合体

あるM以下のBHは M^{-1} を仮定しない

★宇宙全体の銀河分布の見積もり

ハロー-モデルによる銀河質量分布

星形成率の時間進化

★標準宇宙膨張モデル

★BH合体のリングダウンモード

★第2世代地上重力波干涉計 KAGRA

インスピラル

宇宙空間 LISA, DECIGO, INO

4. 今回のモデル

★1つの銀河内のBH合体数の見積もり

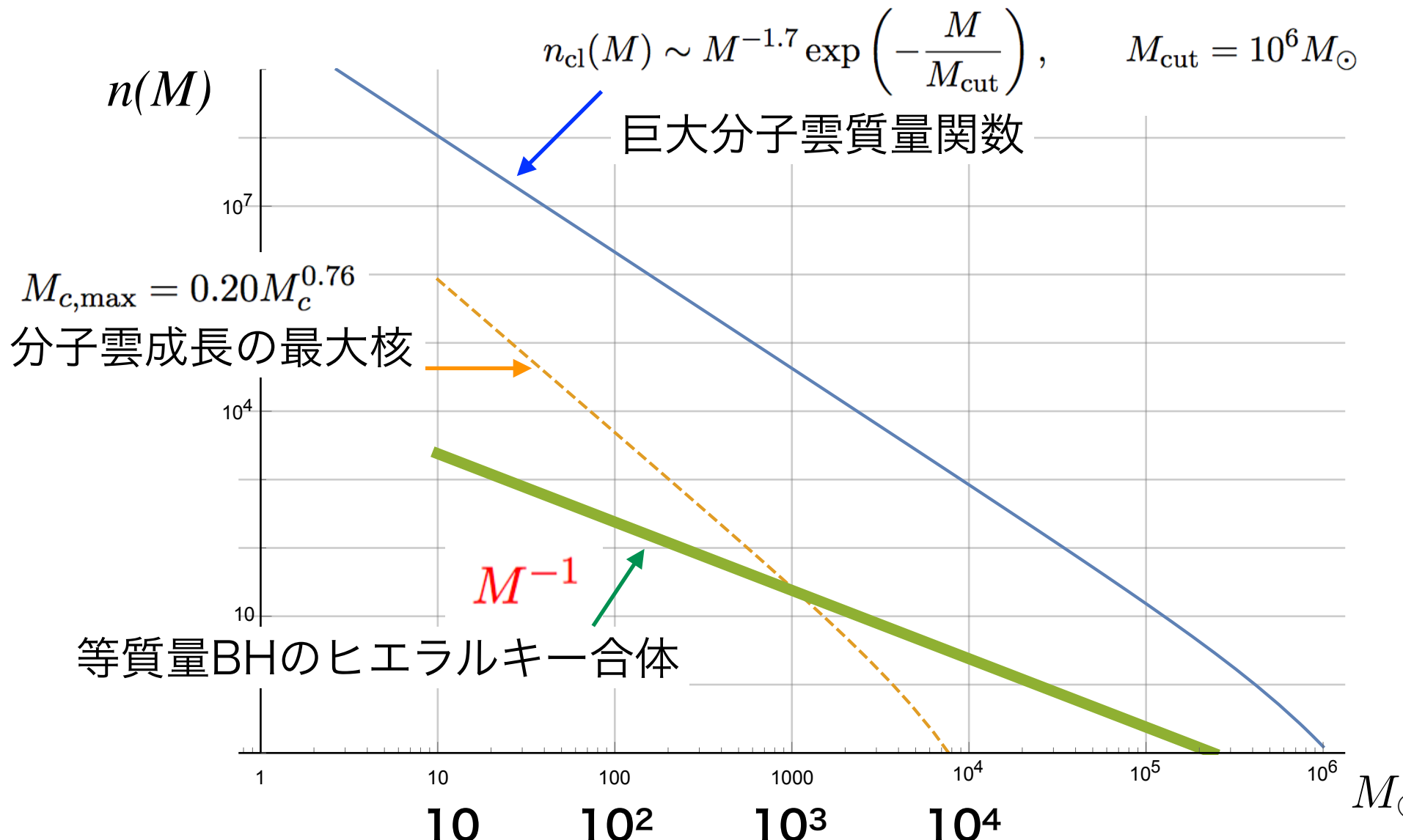
巨大分子雲質量関数

分子雲成長の最大核

銀河SMBHと銀河質量関係

等質量BHのヒエラルキー合体

$10^{12} M_{\odot}$ galaxy



4. 今回のモデル

★1つの銀河内のBH合体数の見積もり

巨大分子雲質量関数

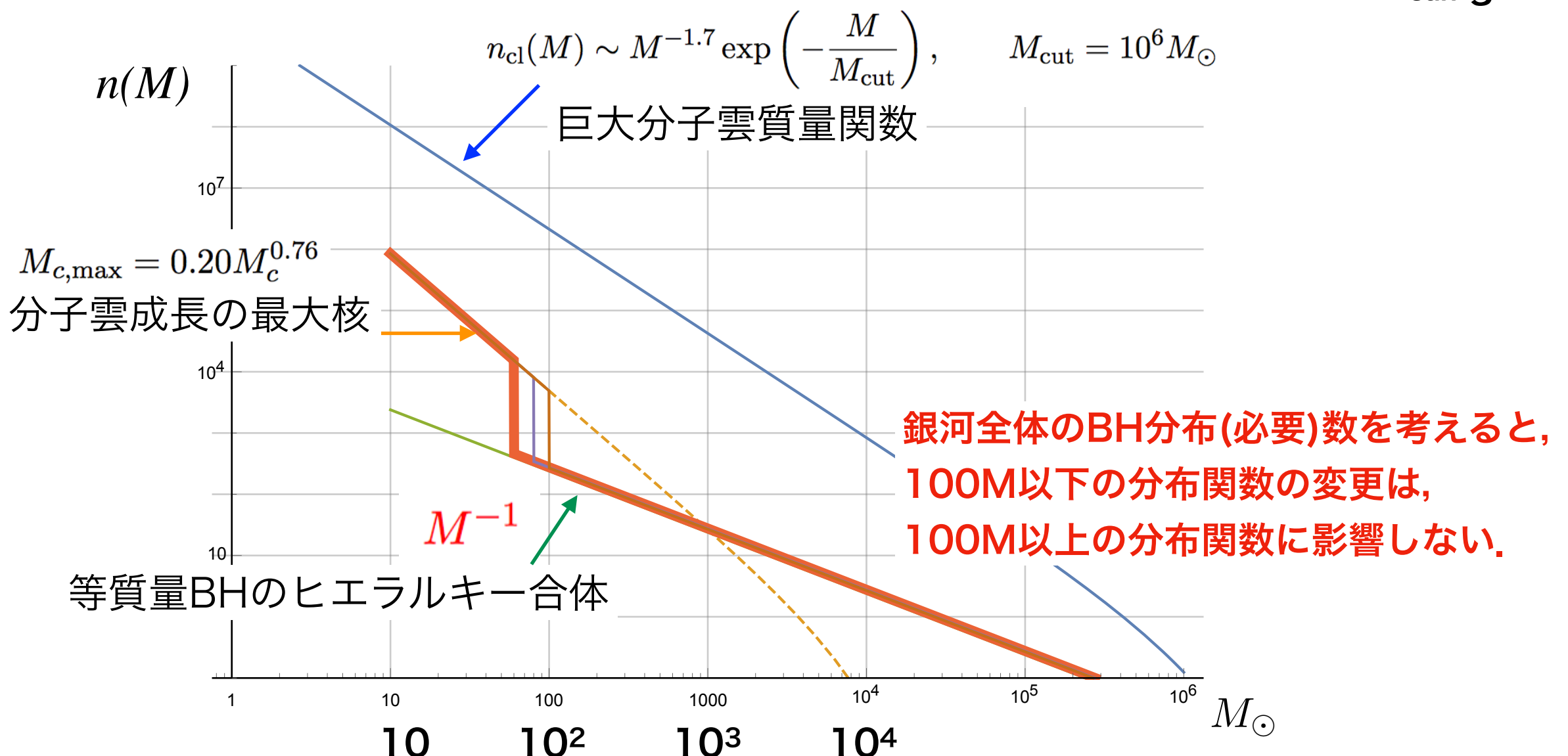
分子雲成長の最大核

銀河SMBHと銀河質量関係

等質量BHのヒエラルキー合体

60M, 100M以下のBHは M^{-1} を仮定しない

$10^{12} M_{\odot}$ galaxy



4. 今回のモデル

★1つの銀河内のBH合体数の見積もり

巨大分子雲質量関数

$$\text{分子雲成長の最大核 } M_{c,\max} = 0.20M_c^{0.76}$$

銀河SMBHと銀河質量関係

$$\begin{aligned} M_{\text{SMBH}} &= 2 \times 10^{-4} M_{\text{galaxy}} \\ &= 10^{-3} M_{\text{bulge}} \end{aligned}$$

等質量BHのヒエラルキー合体

60M, 100M以下のBHは M⁻¹ を仮定しない

★宇宙全体の銀河分布の見積もり

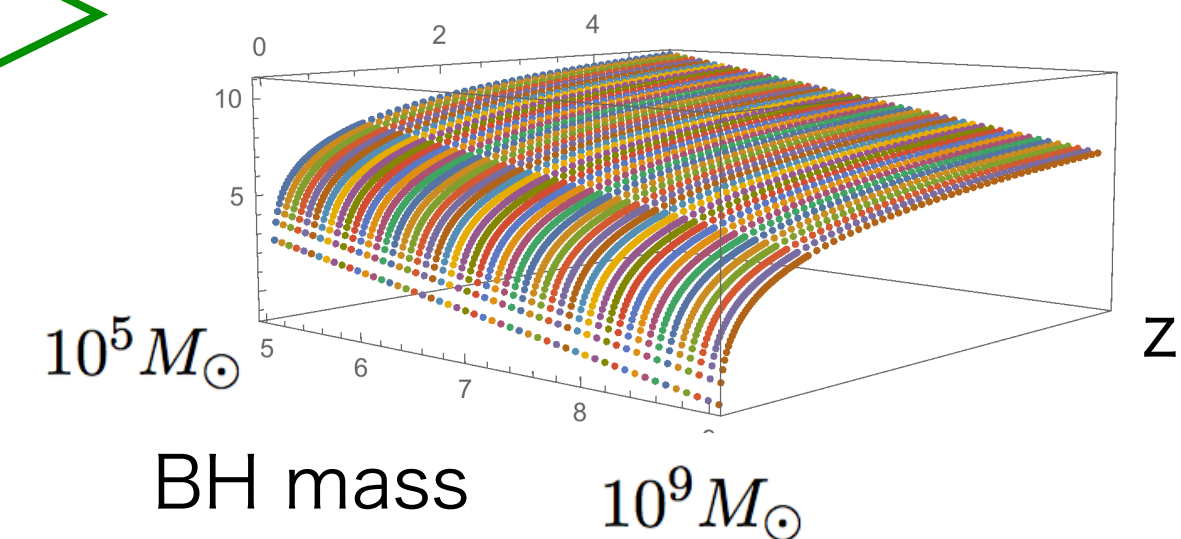
ハロー-モデルによる銀河質量分布

星形成率の時間進化

★標準宇宙膨張モデル

★BH合体のインスピラルモード

★宇宙空間 LISA, DECIGO, INO



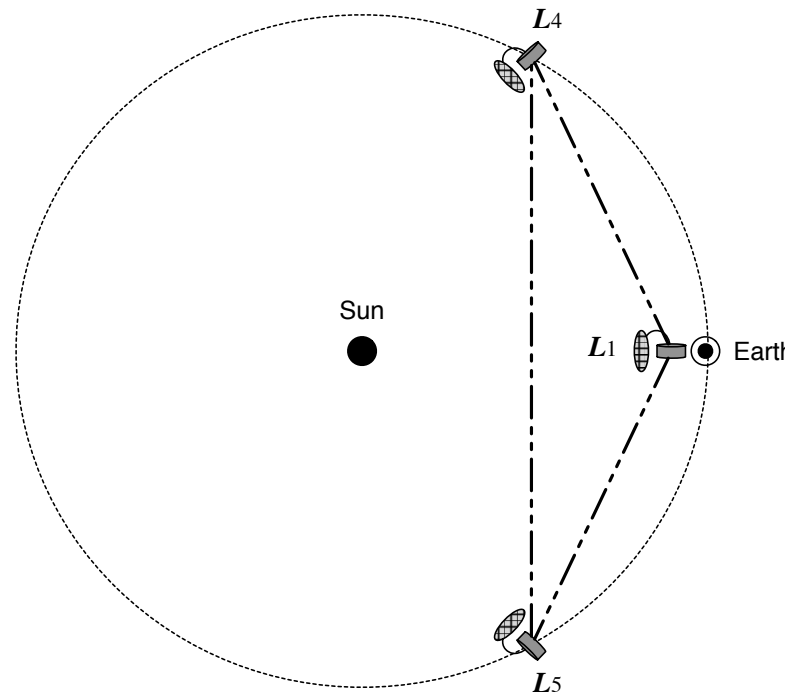
検出器のノイズカーブが与えられたら、観測可能距離Dが、シグナルノイズ比ρに応じて決まる

$$D = \frac{2}{5} \sqrt{\frac{5}{6}} \frac{c}{\pi^{2/3}} \left(\frac{GM_c}{c^3} \right)^{5/6} \left[\int_{f_{min}}^{f_{max}} \frac{f^{7/3}}{S_n(f)} df \right]^{1/2} \frac{1}{\rho}$$

観測可能距離Dが決まれば、観測されるイベントレート・質量プロファイルが決まる

4. INO : Interplanetary Network of Optical Lattice Clocks

戎崎俊一（理研）, 香取秀俊（東京大/理研）, 野田篤司（JAXA）,
牧野淳一郎（神戸大/理研）, 真貝寿明（大阪工大/理研）, 玉川徹（理研）



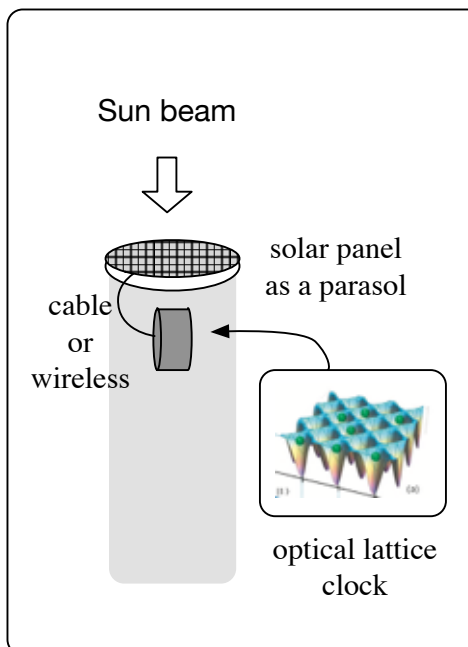
光格子時計

原子をレーザーの定在波の腹に捕獲
多数原子の遷移周波数を読み取る
超分極と多重極効果を相殺する魔法周波数

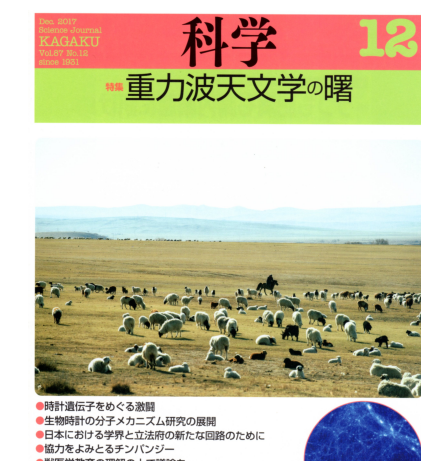
光格子時計は $\Delta t/t = 10^{-19}$ を視野に入れる

基線長 1AU, ドップラー追跡

時間の進み方を比較することで重力波検出
x 干渉計, x ドラッグフリー航法
現在の技術で, Cassiniよりも3桁よい感度が可能



岩波科学2017-12
IJMPD submitted
pdfは真貝のwebより取得できます。

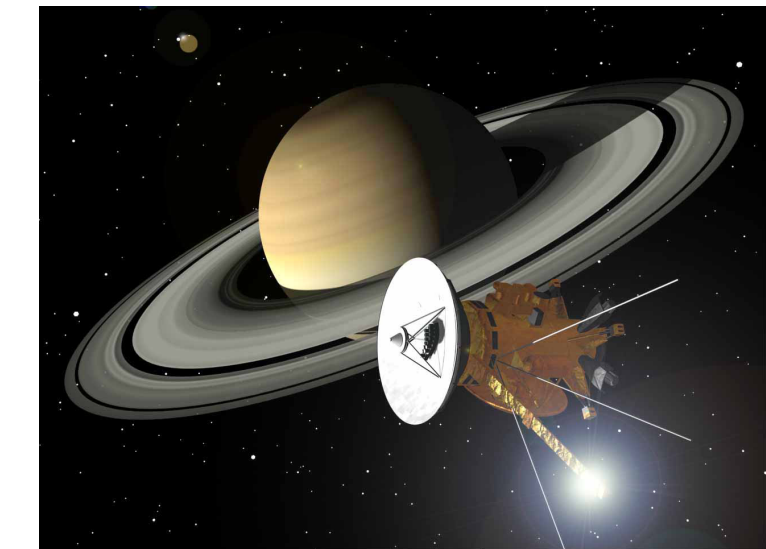
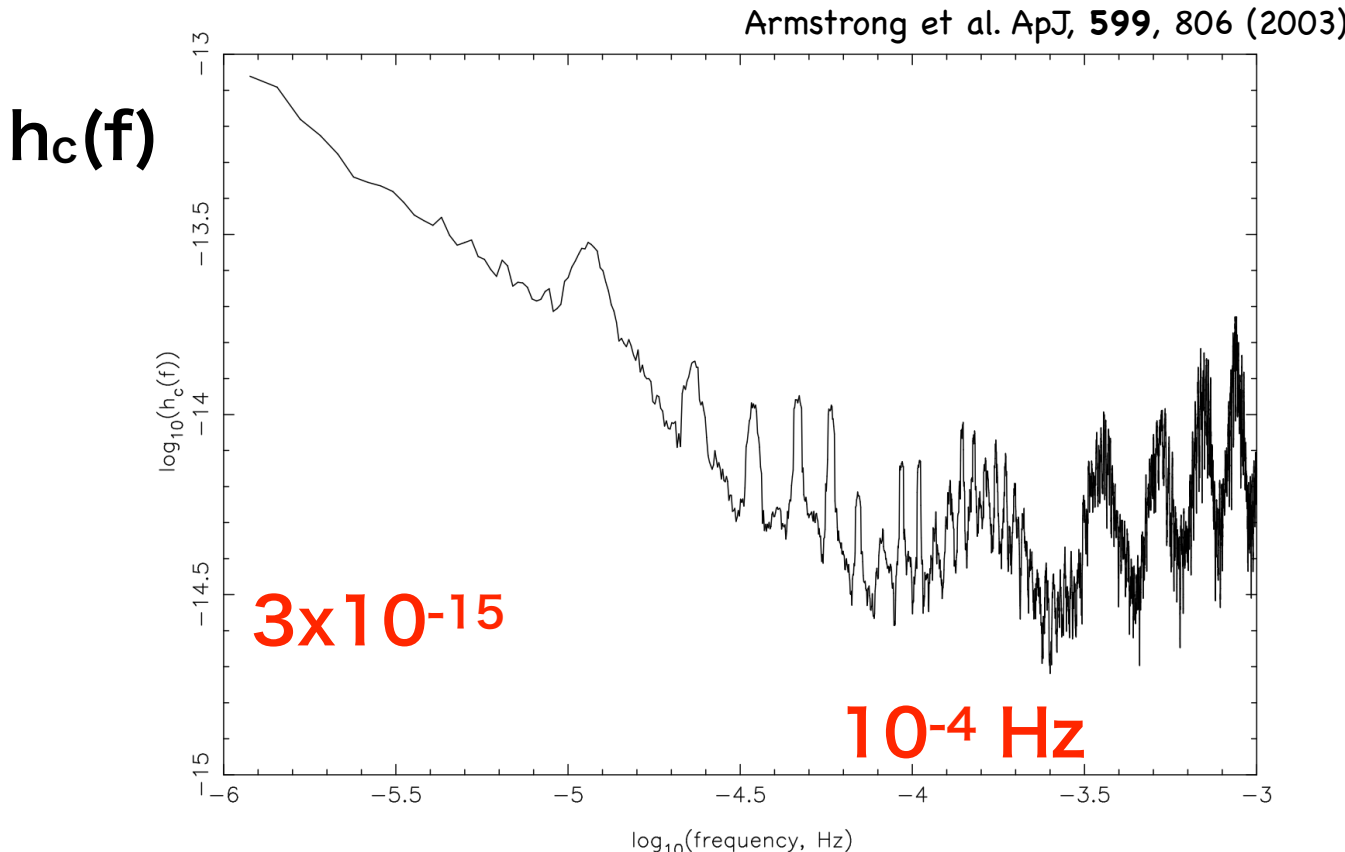


4. INO

Doppler tracking of Cassini Saturn Explorer



Cassini 2001-2002 (Armstrong, LRR 2006)



G. Cassini (1625-1712)

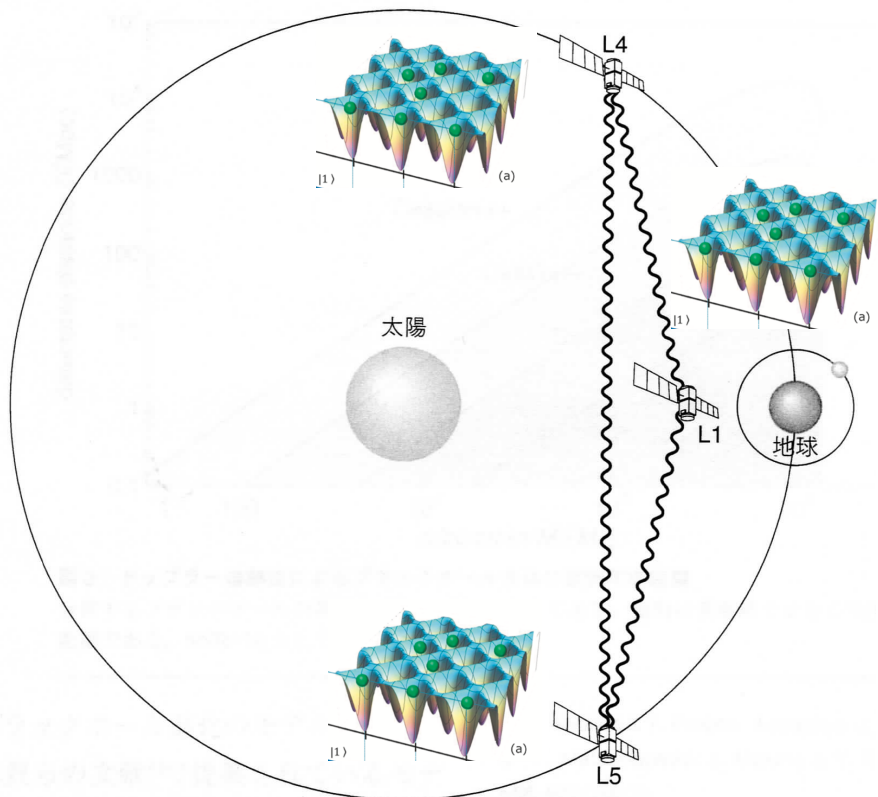
Cassini (1997-2017)

Table 4: Required improvement in subsystems to improve overall Doppler sensitivity by a factor of 10 relative to Cassini-era performance.

Noise source	Comment (σ_y at $\tau = 1000$ s)	Required improvement	
Frequency standard	currently FTS + distribution $\simeq 8 \times 10^{-16}$	$\simeq 8X$	atomic clock
Ground electronics	currently $\simeq 2 \times 10^{-16}$	$\simeq 2X$	troposphere
Tropospheric scintillation	currently $\simeq 10^{-15}$ under favorable conditions	$\simeq 10X$	plasma
Plasma scintillation	Cassini-class radio system probably adequate for calibration to $\simeq 10^{-16}$	$\simeq 1X$	radiation pressure of Sun
Spacecraft motion	currently $\simeq 2 \times 10^{-16}$	$\simeq 2X$	control technology
Antenna mechanical	currently $\simeq 2 \times 10^{-15}$ under favorable conditions	$\simeq 20X$	

4. INO

Improvement of Doppler sensitivity (1)



- ▶ monitor the time by Opt Lattice Clocks in 3 satellites

need to make it portable

If radio transmission,
use two frequency ranges (double tracking)
to check phase differences due to interplanetary plasma

- ▶ If light transmission,
no effects from plasma.

need R&D

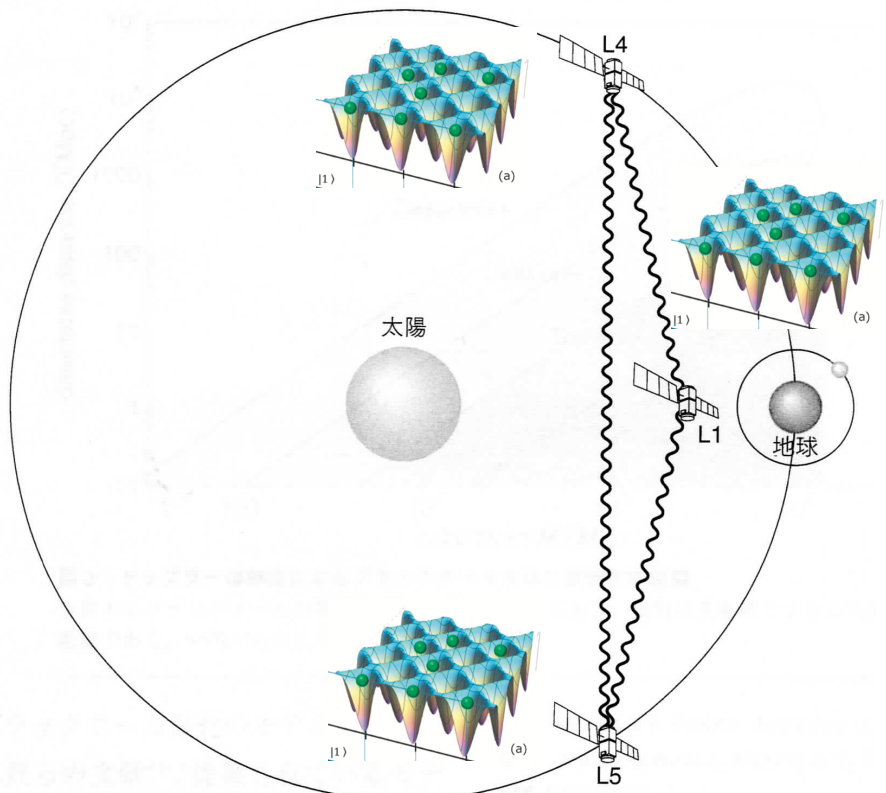
1 AU baseline ▶ 10^{-5} Hz

Table 4: Required improvement in subsystems to improve overall Doppler sensitivity by a factor of 10 relative to Cassini-era performance.

Noise source	Comment (σ_y at $\tau = 1000$ s)	Required improvement	
Frequency standard	currently FTS + distribution $\simeq 8 \times 10^{-16}$	$\simeq 8X$	▶ Opt. Lattice Clock
Ground electronics	currently $\simeq 2 \times 10^{-16}$	$\simeq 2X$	▶ in space
Tropospheric scintillation	currently $\simeq 10^{-15}$ under favorable conditions	$\simeq 10X$	▶ light transmission
Plasma scintillation	Cassini-class radio system probably adequate for calibration to $\simeq 10^{-16}$	$\simeq 1X$	▶ solar panel parasol
Spacecraft motion	currently $\simeq 2 \times 10^{-16}$	$\simeq 2X$	▶ rad. pressure
Antenna mechanical	currently $\simeq 2 \times 10^{-15}$ under favorable conditions	$\simeq 20X$	▶ control technology

4. INO

Improvement of Doppler sensitivity (2)



1 AU baseline ► 10^{-5}Hz

rad. press. $F = P/c$

$$P = 1.3 \text{ kW/m}^2$$

$$1000 \text{ kg}, 10 \text{ m}^2$$

acceleration

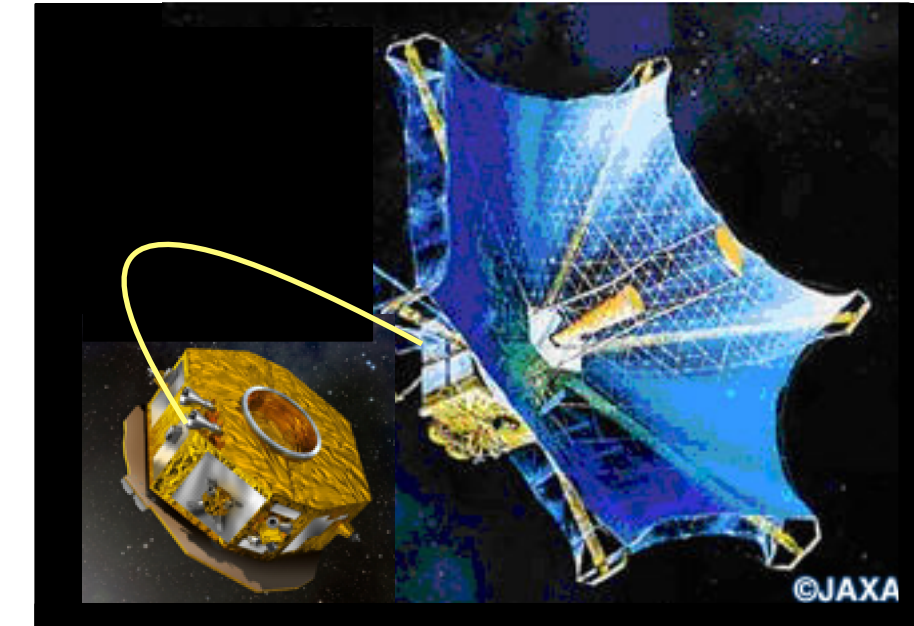
$$a = 5 \times 10^{-8} \text{ m/s}^2$$

$$\Delta P/P \doteq 1/1000$$

$$\Delta a/a \doteq 10^{-11}$$

► **solar panel parasol**

$$\Delta g/g \doteq 10^{-12}$$



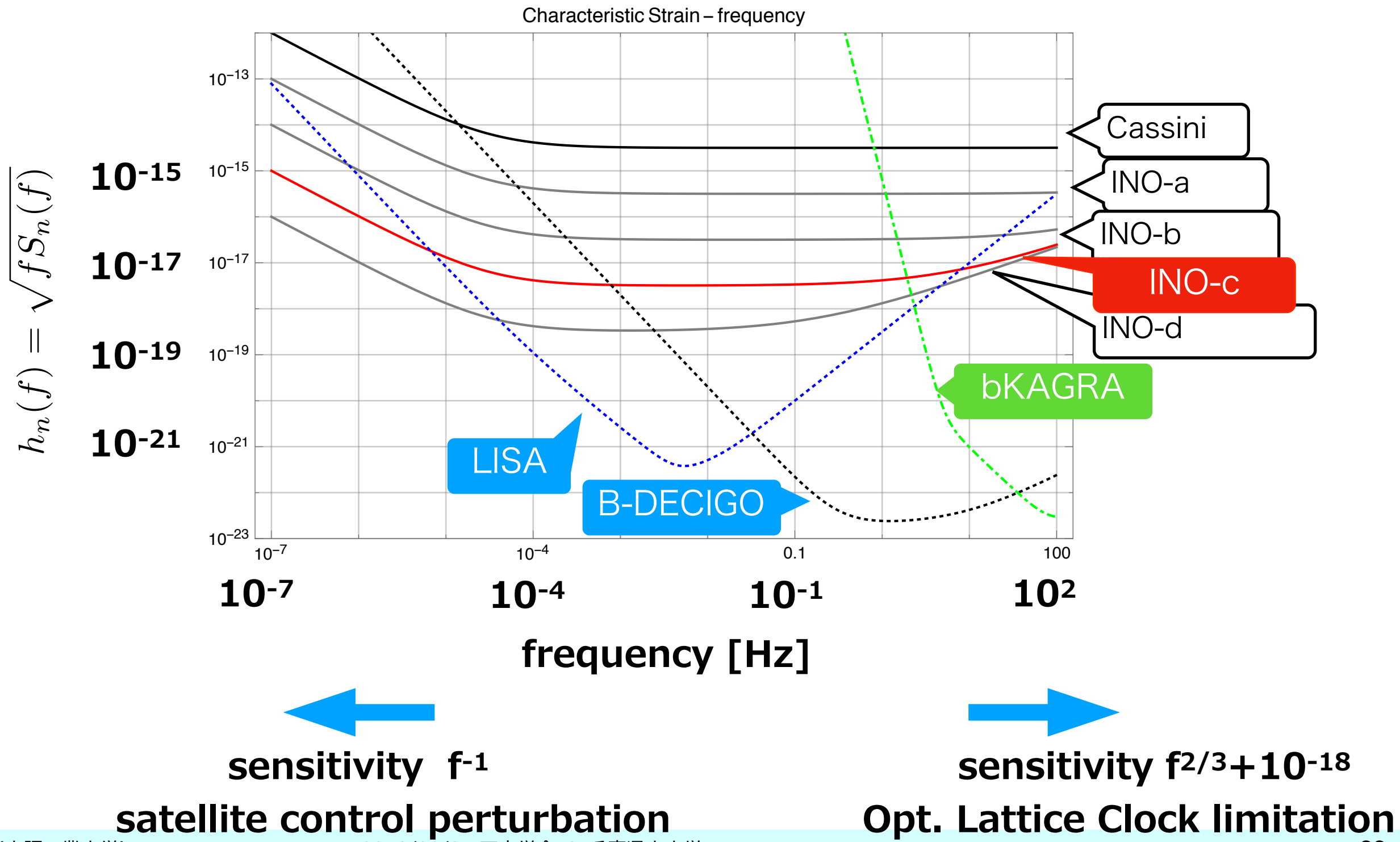
©JAXA

Table 4: Required improvement in subsystems to improve overall Doppler sensitivity by a factor of 10 relative to Cassini-era performance.

Noise source	Comment (σ_y at $\tau = 1000$ s)	Required improvement	
Frequency standard	currently FTS + distribution $\simeq 8 \times 10^{-16}$	$\simeq 8X$	► Opt. Lattice Clock
Ground electronics	currently $\simeq 2 \times 10^{-16}$	$\simeq 2X$	► in space
Tropospheric scintillation	currently $\simeq 10^{-15}$ under favorable conditions	$\simeq 10X$	► light transmission
Plasma scintillation	Cassini-class radio system probably adequate for calibration to $\simeq 10^{-16}$	$\simeq 1X$	► plasma
Spacecraft motion	currently $\simeq 2 \times 10^{-16}$	$\simeq 2X$	► rad. pressure
Antenna mechanical	currently $\simeq 2 \times 10^{-15}$ under favorable conditions	$\simeq 20X$	► solar panel parasol ► control technology

4. INO Improvement of Doppler sensitivity (3)

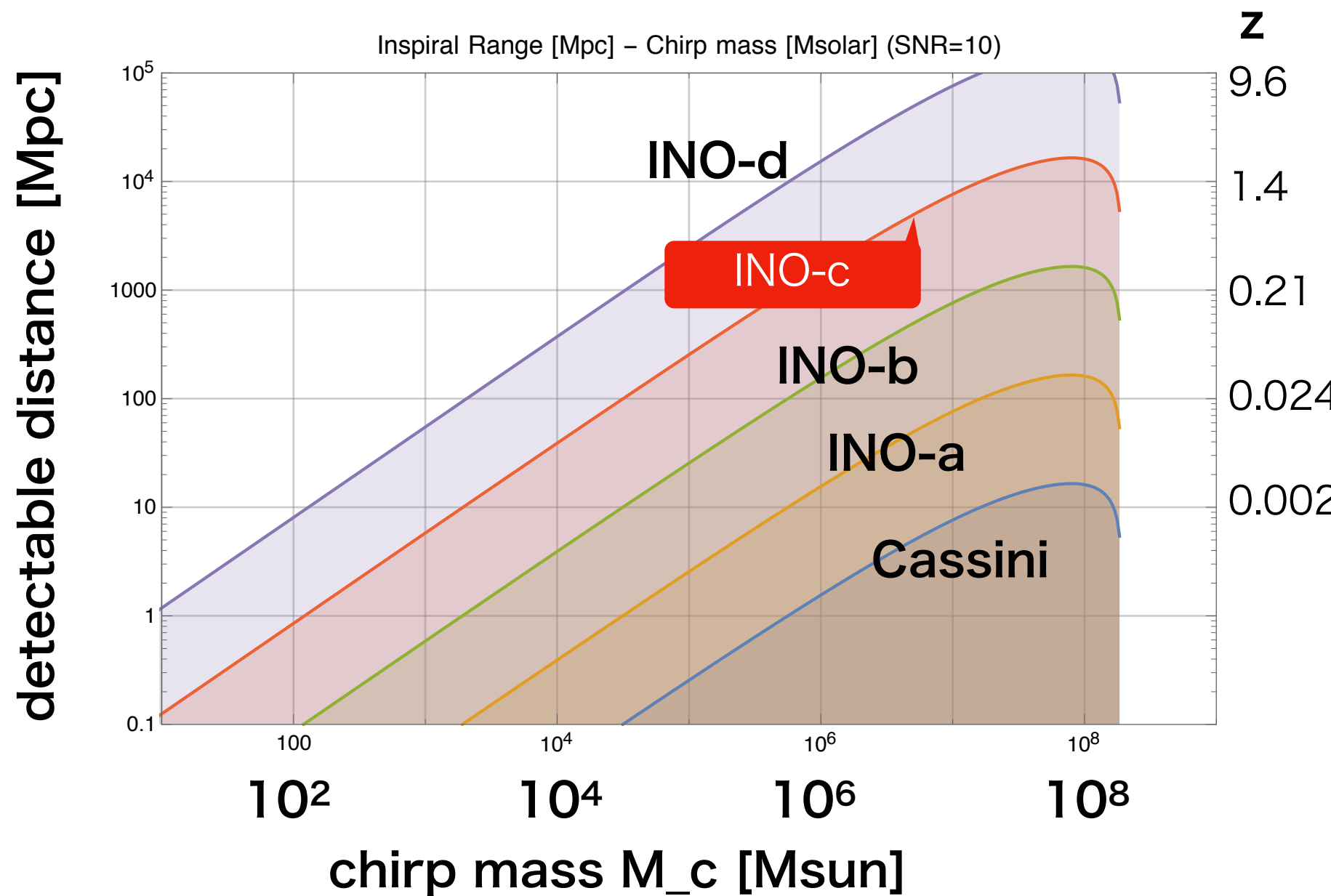
With current technologies, we can obtain 3-order less than Cassini !



4. INO

GW obs. using Optical Lattice Clocks : detectable distance

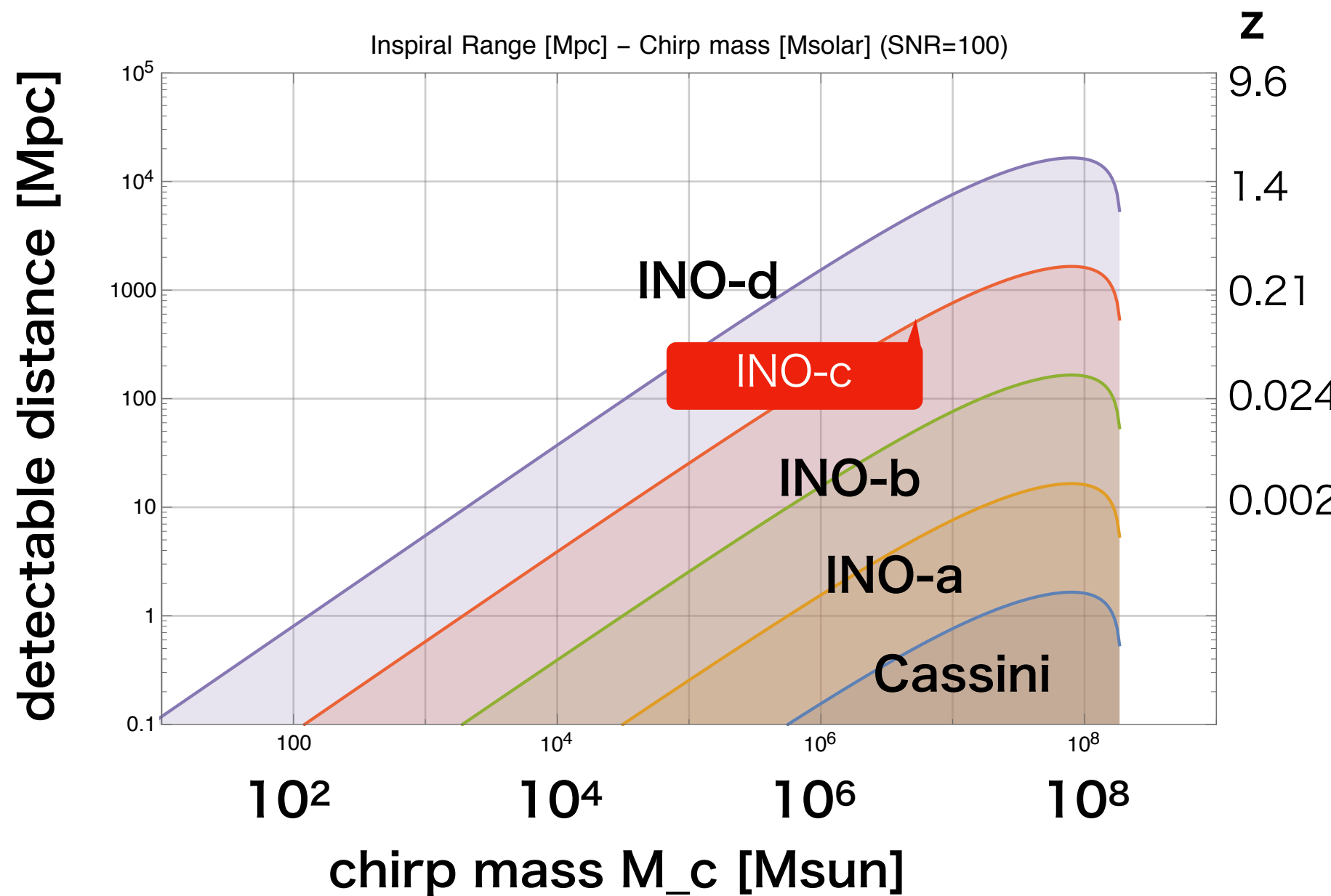
S/N=10



4. INO

GW obs. using Optical Lattice Clocks : detectable distance

S/N=100



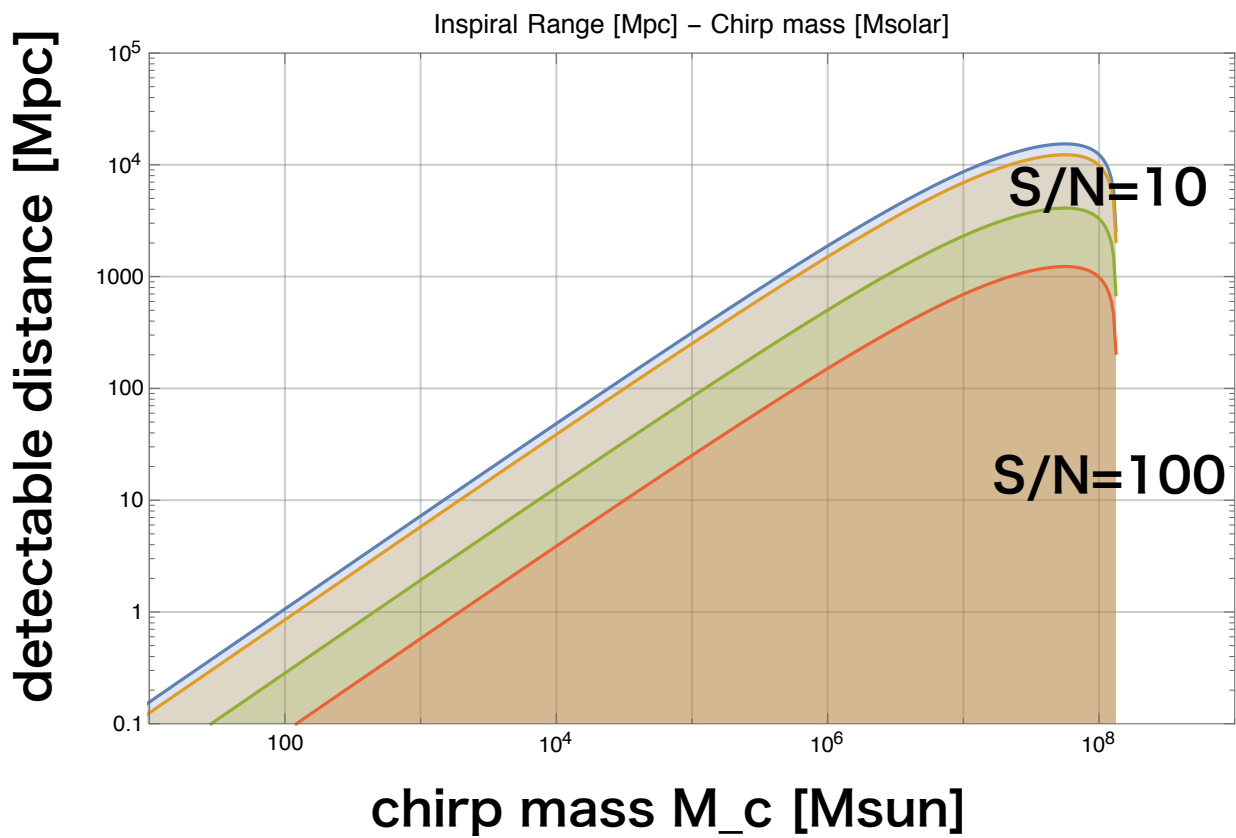
4. INO

GW obs. using Optical Lattice Clocks : detectable distance

q=0.2

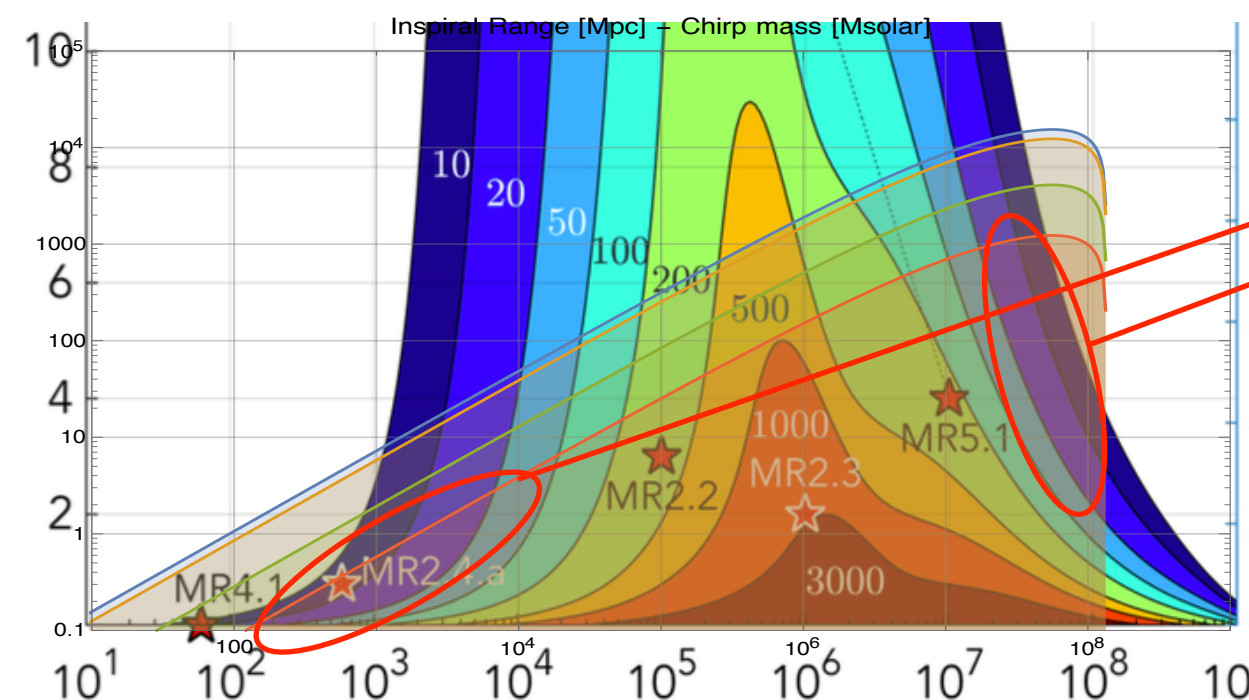
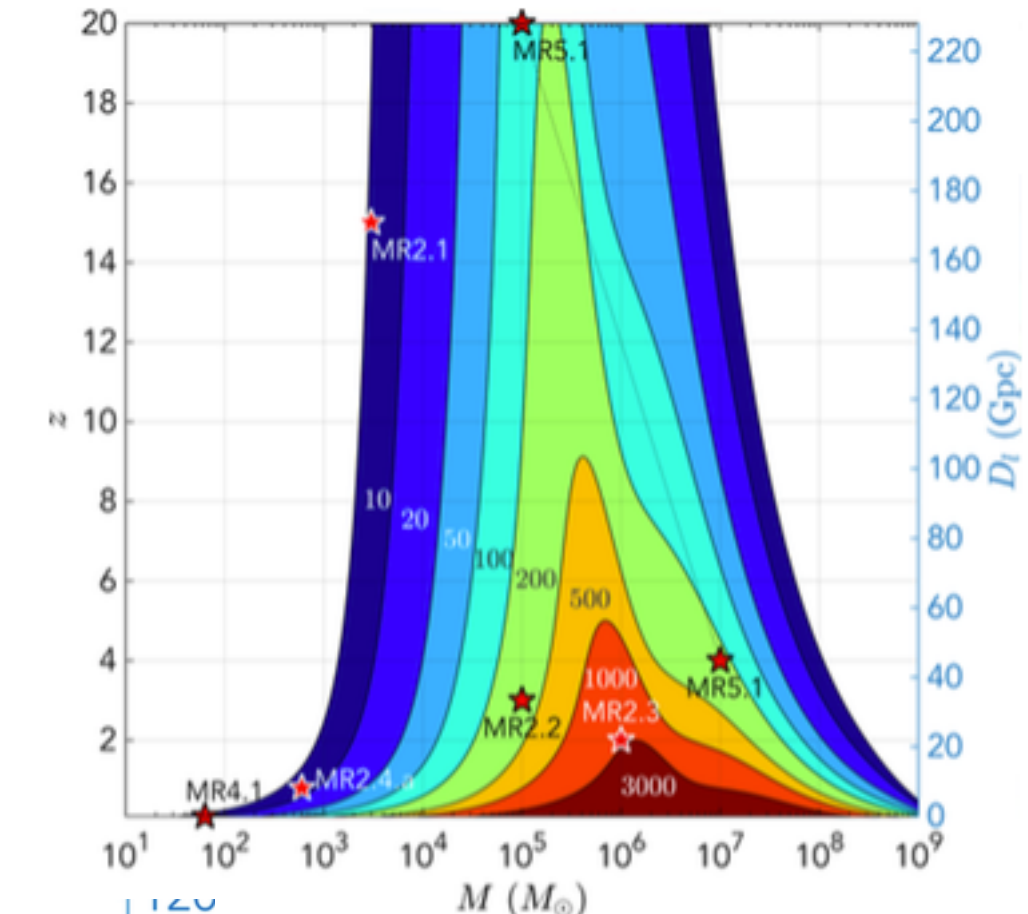
mass ratio q=0.2

INO-c



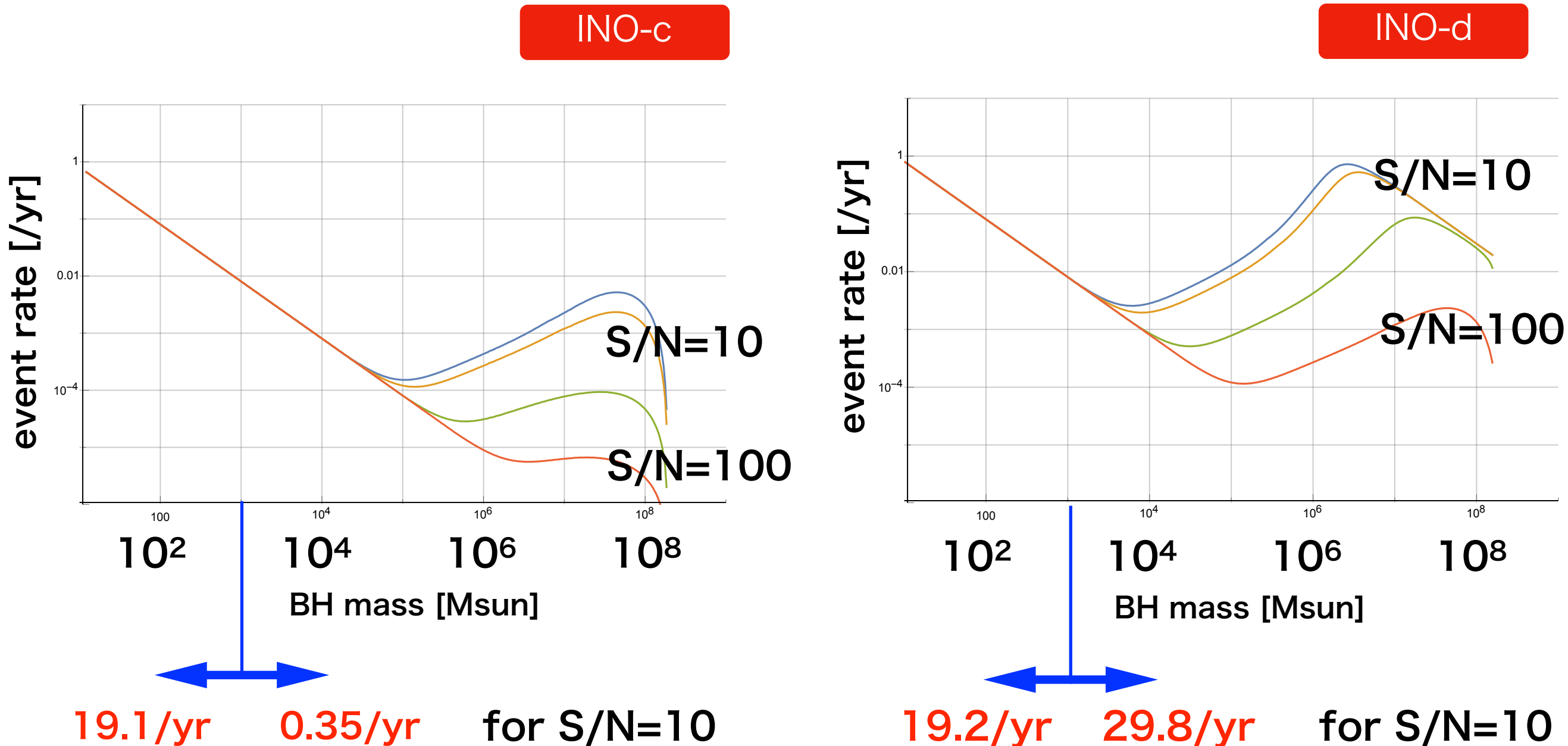
LISA

1702.00786



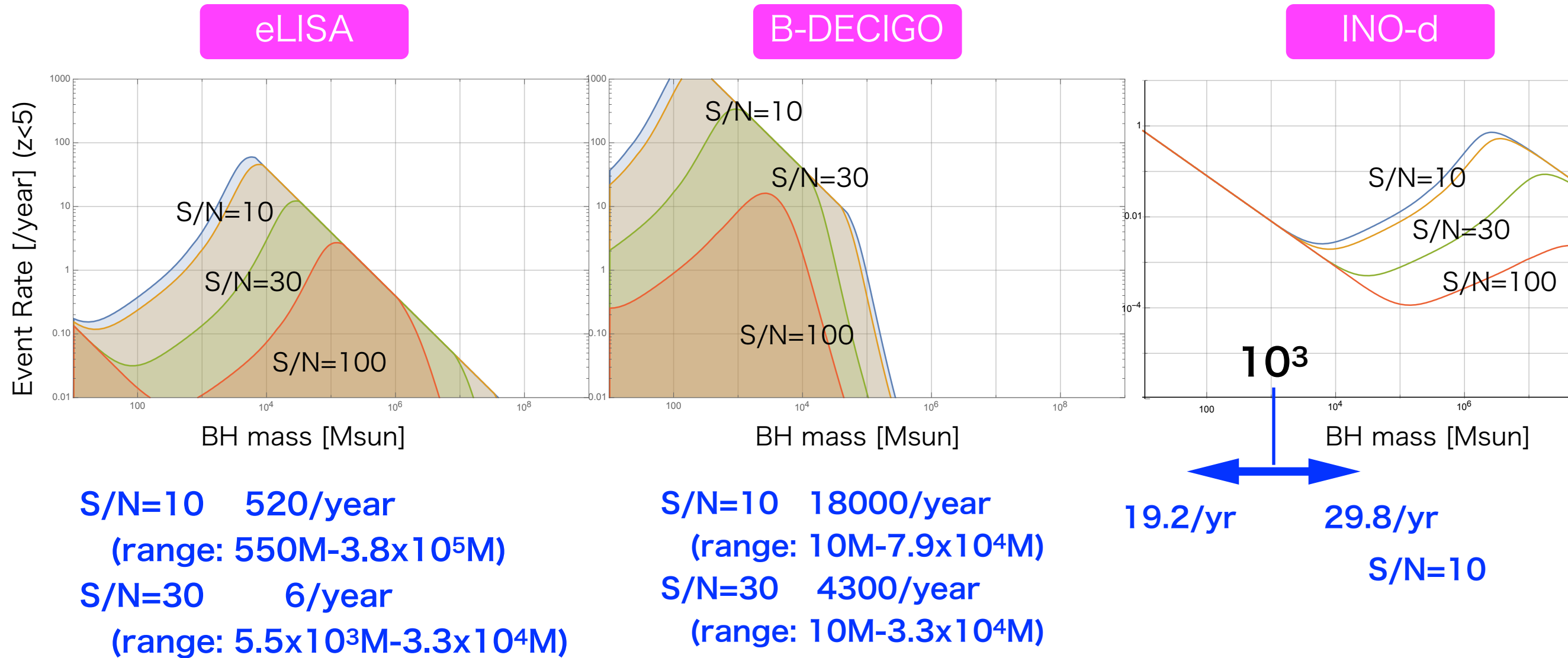
4. SMBH formation model : IMBHs' hierarchical mergers

Event Rate



Summary

SMBH形成をIMBHを経たヒエラルキー合体成長モデルと考え、宇宙空間でのイベント数、観測される質量プロファイルを計算した。



今後、モデルに含まれるさまざまなパラメータごとに同様の解析を行い、観測開始後の統計と合わせて、モデルの制限ができるように準備を進める。